

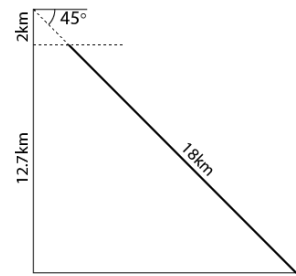
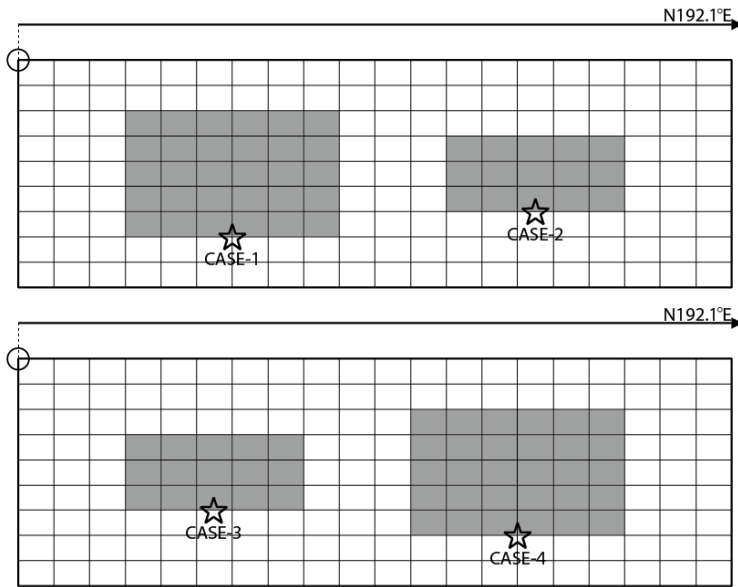
全国地震動予測地図 2016年版
地図編

震源断層を特定した地震動予測地図

震源断層を特定した地震動予測地図：関谷断層

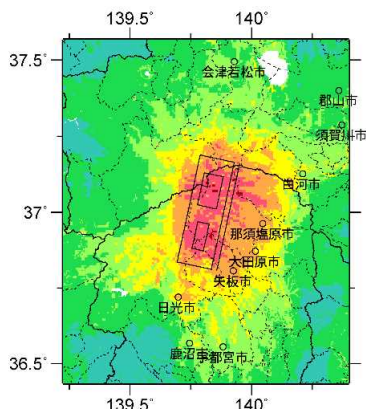
関谷断層 (F014101) 断層パラメータ

巨視的震源パラメータ		設定方法	
断層長さ L [km]		長期評価による	38
地震規模 M		$M = (\log L + 2.9) / 0.6$	7.5
地震モーメント M_0 [Nm]		$\log M_0 = 1.17 \cdot M + 10.72$	2.85E+19
モーメントマグニチュード M_w		$M_w = (\log M_0 - 9.1) / 1.5$	6.9
断層モデル面積 S_{model} [km ²]		$S_{\text{model}} = L_{\text{model}} \cdot W_{\text{model}}$	720
静的応力降下量 $\Delta\sigma$ [MPa]		$\Delta\sigma = 7/16 \cdot (M_0 / R^3), R = (S_{\text{model}} / \pi)^{1/2}$	3.6
平均すべり量 D [m]		$D = M_0 / (\mu \cdot S_{\text{model}})$	1.27
断層モデル原点 (地中) [°N]		長期評価に基づく	37.164
断層モデル原点 (地中) [°E]		長期評価に基づく	139.929
走向 θ [度]		長期評価に基づく	192.1
傾斜角 δ [度]		長期評価に基づく	45.0
すべり角 λ [度]		「逆断層」	90
断層モデル上端深さ H_s [km]		地震基盤と2kmの深い方	2
断層モデル深さ下限 H_d [km]		長期評価に基づく	15
断層モデル長さ L_{model} [km]		「レシピ」の(イ)の手順に従う	40
断層モデル幅 W_{model} [km]		「レシピ」の(イ)の手順に従う	18
微視的震源パラメータ		設定方法	ケース1~4
短周期レベル A [Nm/s ²]		$A = 2.46 \times 10^{10} \times (M_0 \times 10^7)^{1/3}$	1.62E+19
全 テ ィ ス ペ リ	面積 S_a [km ²]	$S_a = \pi r^2, r = (7\pi/4) \cdot \{M_0 / (A \cdot R)\} \cdot \beta^2$	172.0
	実効応力 σ_a [MPa]	$\sigma_a = \Delta\sigma_a = 7/16 \cdot M_0 / (r^2 \cdot R)$	15.1
	平均すべり量 D_a [m]	$D_a = \gamma_D \cdot D, \gamma_D = 2.0$	2.54
	地震モーメント M_{0a} [Nm]	$M_{0a} = \mu \cdot D_a \cdot S_a$	1.36E+19
テ ィ ス ペ リ 1	面積 S_{a1} [km ²]	$S_{a1} = S_a \cdot (2/3)$ または $S_{a1} = S_a$	114.7
	実効応力 σ_{a1} [MPa]	$\sigma_{a1} = \sigma_a$	15.1
	平均すべり量 D_{a1} [m]	$D_{a1} = (\gamma_1 / \Sigma\gamma_i^3) \cdot D_a$ または $D_{a1} = D_a$	2.82
	計算用面積 [km ²]	2kmメッシュサイズ	12 × 10
テ ィ ス ペ リ 2	面積 S_{a2} [km ²]	$S_{a2} = S_a / 3$ または 「なし」	57.3
	実効応力 σ_{a2} [MPa]	$\sigma_{a2} = \sigma_a$ または 「なし」	15.1
	平均すべり量 D_{a2} [m]	$D_{a2} = (\gamma_2 / \Sigma\gamma_i^3) \cdot D_a$ または 「なし」	1.99
	計算用面積 [km ²]	2kmメッシュサイズ	10 × 6
背 景 領 域	面積 S_b [km ²]	$S_b = S_{\text{model}} - S_a$	548.0
	実効応力 σ_b [MPa]	$\sigma_b = (D_b / W_b) \cdot (\pi^{1/2} / D_a) \cdot r \cdot \Sigma\gamma_i^3 \cdot \sigma_a$	2.8
	平均すべり量 D_b [m]	$D_b = M_{0b} / (\mu \cdot S_b)$	0.87
	地震モーメント M_{0b} [Nm]	$M_{0b} = M_0 - M_{0a}$	1.49E+19

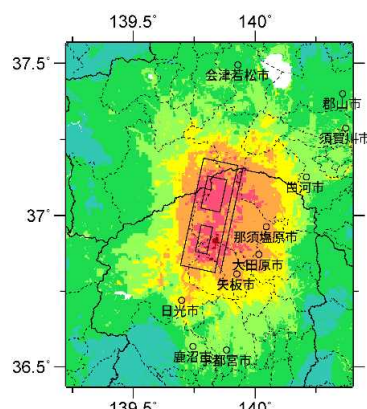


傾斜方向断面図

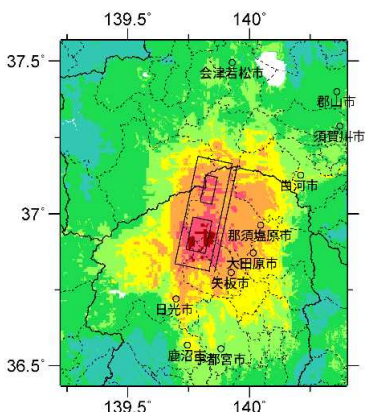
アスペリティと破壊開始点の配置図



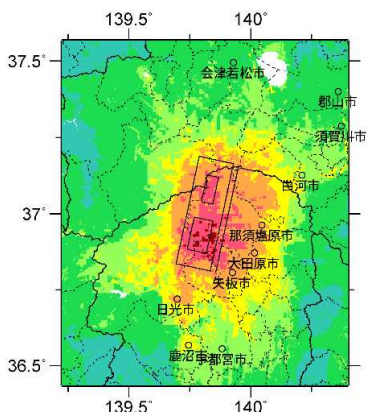
詳細法ケース 1



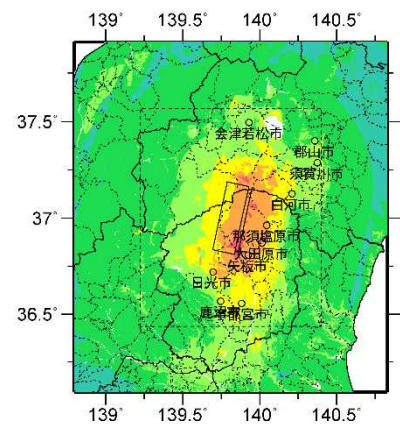
詳細法ケース 2



詳細法ケース 3

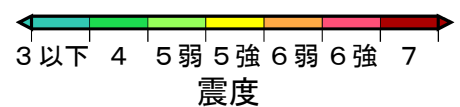


詳細法ケース 4



簡便法

(破線矩形は詳細法計算領域)



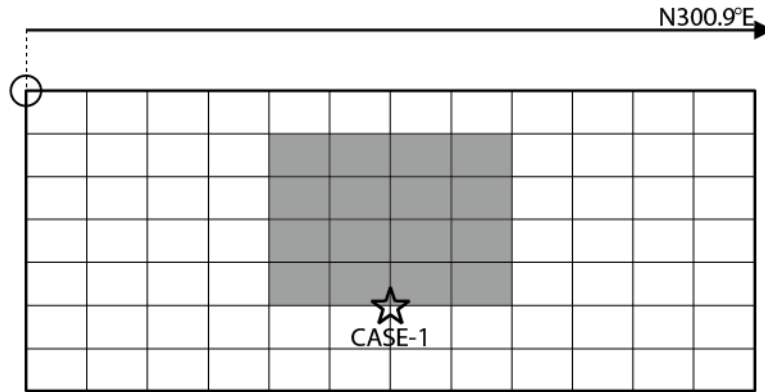
震度分布図

震源断層を特定した地震動予測地図：関谷断層

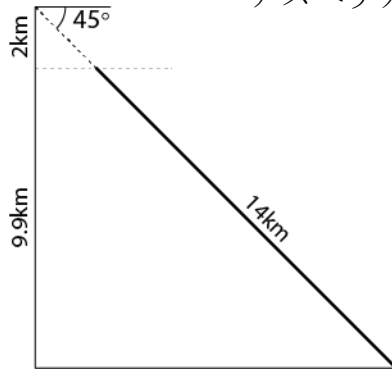
震源断層を特定した地震動予測地図：大久保断層

大久保断層（F014401）断層パラメータ

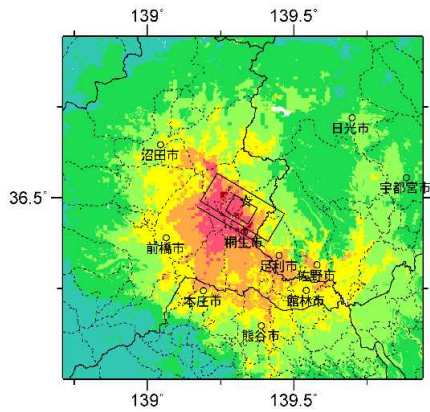
巨視的震源パラメータ		設定方法	
断層長さ L [km]		長期評価による	20
地震規模 M		$M = (\log L + 2.9) / 0.6$	7.0
地震モーメント M_0 [Nm]		$\log M_0 = 1.17 \cdot M + 10.72$	8.17E+18
モーメントマグニチュード M_w		$M_w = (\log M_0 - 9.1) / 1.5$	6.5
断層モデル面積 S_{model} [km ²]		$S_{\text{model}} = L_{\text{model}} \cdot W_{\text{model}}$	336
静的応力降下量 $\Delta\sigma$ [MPa]		$\Delta\sigma = 7/16 \cdot (M_0 / R^3), R = (S_{\text{model}} / \pi)^{1/2}$	3.2
平均すべり量 D [m]		$D = M_0 / (\mu \cdot S_{\text{model}})$	0.78
断層モデル原点（地中） [°N]		長期評価に基づく	36.379
断層モデル原点（地中） [°E]		長期評価に基づく	139.411
走向 θ [度]		長期評価に基づく	300.9
傾斜角 δ [度]		長期評価に基づく	45.0
すべり角 λ [度]		「逆断層」	90
断層モデル上端深さ H_s [km]		地震基盤と2kmの深い方	2
断層モデル深さ下限 H_d [km]		長期評価に基づく	10
断層モデル長さ L_{model} [km]		「レシピ」の（イ）の手順に従う	24
断層モデル幅 W_{model} [km]		「レシピ」の（イ）の手順に従う	14
微視的震源パラメータ		設定方法	ケース1
短周期レベル A [Nm/s ²]		$A = 2.46 \times 10^{10} \times (M_0 \times 10^7)^{1/3}$	1.07E+19
全 ア ス ペ リ	面積 S_a [km ²]	$S_a = \pi r^2, r = (7\pi/4) \cdot \{M_0 / (A \cdot R)\} \cdot \beta^2$	69.5
	実効応力 σ_a [MPa]	$\sigma_a = \Delta\sigma_a = 7/16 \cdot M_0 / (r^2 \cdot R)$	15.6
	平均すべり量 D_a [m]	$D_a = \gamma_D \cdot D, \gamma_D = 2.0$	1.56
	地震モーメント M_{0a} [Nm]	$M_{0a} = \mu \cdot D_a \cdot S_a$	3.38E+18
ア ス ペ リ 1	面積 S_{a1} [km ²]	$S_{a1} = S_a \cdot (2/3)$ または $S_{a1} = S_a$	69.5
	実効応力 σ_{a1} [MPa]	$\sigma_{a1} = \sigma_a$	15.6
	平均すべり量 D_{a1} [m]	$D_{a1} = (\gamma_1 / \Sigma\gamma_i^3) \cdot D_a$ または $D_{a1} = D_a$	1.56
	計算用面積 [km ²]	2kmメッシュサイズ	8 × 8
ア ス ペ リ 2	面積 S_{a2} [km ²]	$S_{a2} = S_a / 3$ または 「なし」	
	実効応力 σ_{a2} [MPa]	$\sigma_{a2} = \sigma_a$ または 「なし」	
	平均すべり量 D_{a2} [m]	$D_{a2} = (\gamma_2 / \Sigma\gamma_i^3) \cdot D_a$ または 「なし」	
	計算用面積 [km ²]	2kmメッシュサイズ	
背 景 領 域	面積 S_b [km ²]	$S_b = S_{\text{model}} - S_a$	266.5
	実効応力 σ_b [MPa]	$\sigma_b = (D_b / W_b) \cdot (\pi^{1/2} / D_a) \cdot r \cdot \Sigma\gamma_i^3 \cdot \sigma_a$	3.2
	平均すべり量 D_b [m]	$D_b = M_{0b} / (\mu \cdot S_b)$	0.58
	地震モーメント M_{0b} [Nm]	$M_{0b} = M_0 - M_{0a}$	4.79E+18



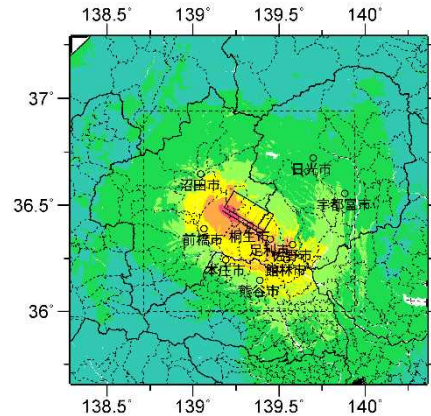
アスペリティと破壊開始点の配置図



傾斜方向断面図

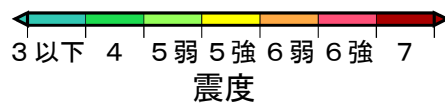


詳細法ケース 1



簡便法

(破線矩形は詳細法計算領域)



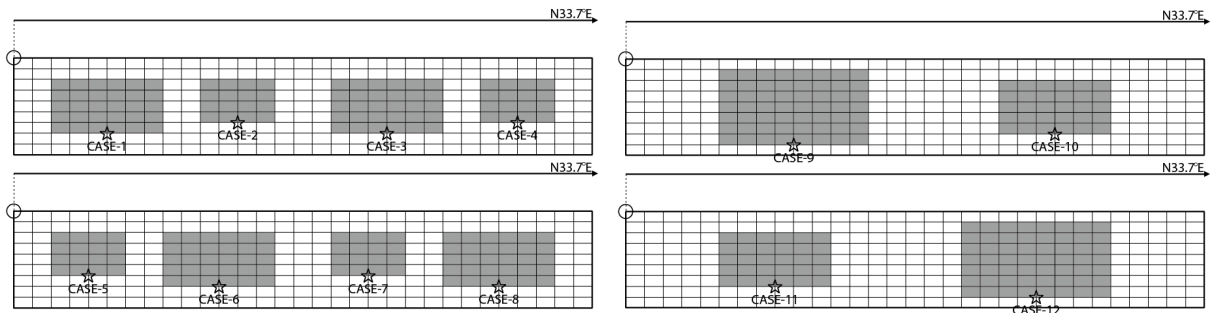
震度分布図

震源断層を特定した地震動予測地図：大久保断層

震源断層を特定した地震動予測地図：長野盆地西縁断層帯 飯山-千曲区間

長野盆地西縁断層帯 飯山-千曲区間 (F014601) 断層パラメータ

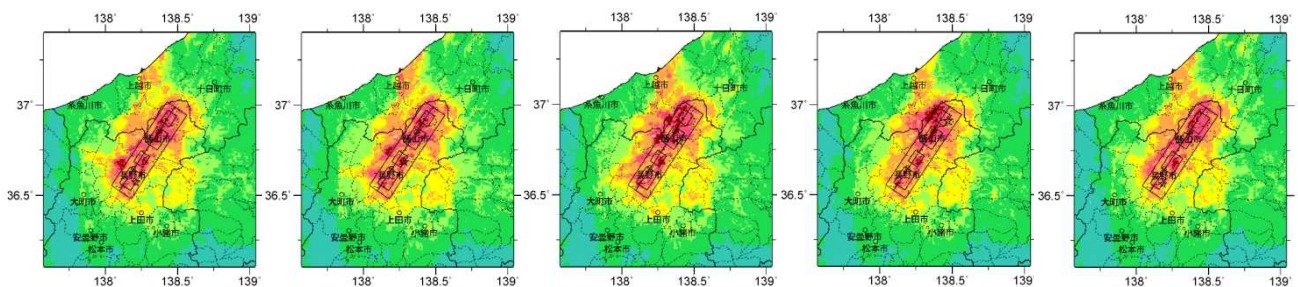
巨視的震源パラメータ		設定方法		
断層長さ L [km]		長期評価による		
地震規模 M		$M = (\log L + 2.9) / 0.6$		
地震モーメント M_0 [Nm]		$\log M_0 = 1.17 \cdot M + 10.72$		
モーメントマグニチュード M_w		$M_w = (\log M_0 - 9.1) / 1.5$		
断層モデル総面積 S_{model} [km ²]		$S_{\text{model}} = \Sigma S_{\text{model_seg}}$		
静的応力降下量 $\Delta\sigma$ [MPa]		$\Delta\sigma = 7/16 \cdot (M_0 / R^3), R = (S_{\text{model}} / \pi)^{1/2}$		
平均すべり量 D [m]		$D = M_0 / (\mu \cdot S_{\text{model}})$		
断層モデル原点 (地中) [°N]		長期評価に基づく	36.553	36.553
断層モデル原点 (地中) [°E]		長期評価に基づく	138.043	138.043
走向 θ [度]		長期評価に基づく	33.7	33.7
傾斜角 δ [度]		長期評価に基づく	35.0	35.0
すべり角 λ [度]		「逆断層」	90	90
断層モデル上端深さ H_s [km]		地震基盤と2kmの深い方	4	4
断層モデル深さ下限 H_d [km]		長期評価に基づく	15	15
断層モデル長さ L_{model} [km]		「レシピ」の (イ) の手順に従う	31	62
断層モデル幅 W_{model} [km]		「レシピ」の (イ) の手順に従う	18	18
断層モデル面積 $S_{\text{model_seg}}$ [km ²]		$S_{\text{model_seg}} = L_{\text{model_seg}} \cdot W_{\text{model_seg}}$	558	1116
セグメント地震モーメント $M_{0\text{seg}}$ [Nm]		$S_{\text{model_seg}}$ の1.5乗に応じて分配	3.37E+19	6.73E+19
セグメント平均すべり量 D_{seg} [m]		$D_{\text{seg}} = M_{0\text{seg}} / (\mu \cdot S_{\text{model_seg}})$	1.93	1.93
微視的震源パラメータ		設定方法	ケース 1~8	9~12
短周期レベル A [Nm/s ²]		$A = 2.46 \times 10^{10} \times (M_0 \times 10^7)^{1/3}$	2.16E+19	
全 ア ス ペ リ	面積 S_a [km ²]	$S_a = \pi r^2, r = (7\pi/4) \cdot \{M_0 / (A \cdot R)\} \cdot \beta^2$	348.3	
	実効応力 σ_a [MPa]	$\sigma_a = \Delta\sigma_a = 7/16 \cdot M_0 / (r^2 \cdot R)$	14.1	
	セグメント面積 S_{a1} [km ²]	$S_{\text{model_seg}}$ に応じて分配	174.1	348.3
	平均すべり量 D_a [m]	$D_a = \gamma_D \cdot D_{\text{seg}}, \gamma_D = 2.0$	3.87	3.87
	地震モーメント M_{0a} [Nm]	$M_{0a} = \mu \cdot D_a \cdot S_a$	2.10E+19	4.20E+19
ア ス ペ リ 1	面積 S_{a1} [km ²]	$S_{a1} = S_a \cdot (2/3)$ または $S_{a1} = S_a$	116.1	232.2
	実効応力 σ_{a1} [MPa]	$\sigma_{a1} = \sigma_a$	14.1	14.1
	平均すべり量 D_{a1} [m]	$D_{a1} = (\gamma_1 / \Sigma \gamma_i^3) \cdot D_a$ または $D_{a1} = D_a$	4.28	4.28
	計算用面積 [km ²]	2kmメッシュサイズ	12 × 10	16 × 14
ア ス ペ リ 2	面積 S_{a2} [km ²]	$S_{a2} = S_a / 3$ または 「なし」	58.0	116.1
	実効応力 σ_{a2} [MPa]	$\sigma_{a2} = \sigma_a$ または 「なし」	14.1	14.1
	平均すべり量 D_{a2} [m]	$D_{a2} = (\gamma_2 / \Sigma \gamma_i^3) \cdot D_a$ または 「なし」	3.03	3.03
	計算用面積 [km ²]	2kmメッシュサイズ	8 × 8	12 × 10
背 景 領 域	面積 S_b [km ²]	$S_b = S_{\text{model}} - S_a$	383.9	767.7
	実効応力 σ_b [MPa]	$\sigma_b = (D_b / W_b) \cdot (\pi^{1/2} / D_a) \cdot r \cdot \Sigma \gamma_i^3 \cdot \sigma_a$	2.1	2.9
	平均すべり量 D_b [m]	$D_b = M_{0b} / (\mu \cdot S_b)$	1.06	1.06
	地震モーメント M_{0b} [Nm]	$M_{0b} = M_0 - M_{0a}$	1.27E+19	2.53E+19



アスペリティと破壊開始点の配置図



傾斜方向断面図



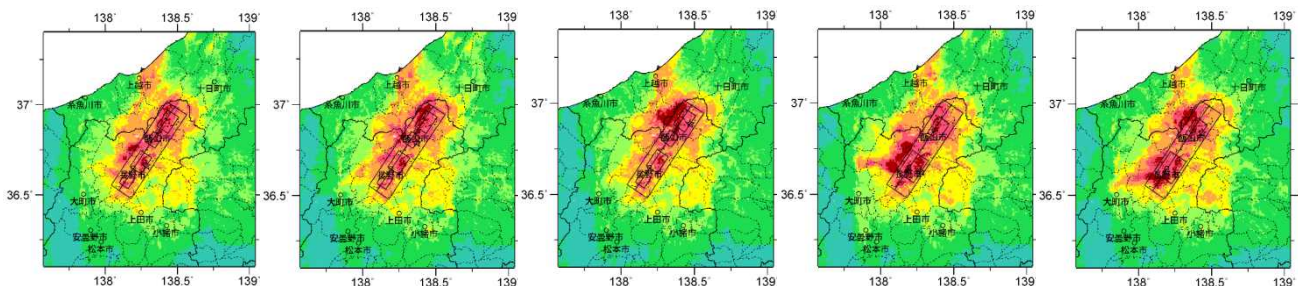
詳細法ケース 1

ケース 2

ケース 3

ケース 4

ケース 5



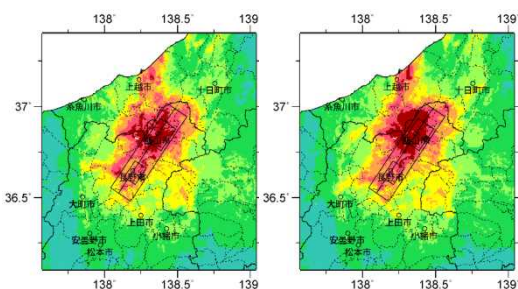
詳細法ケース 6

ケース 7

ケース 8

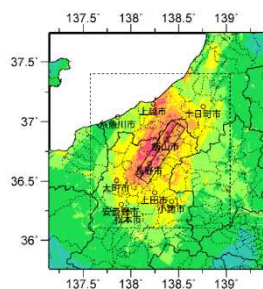
ケース 9

ケース 10



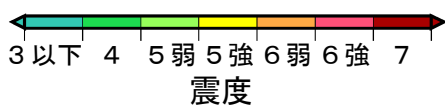
詳細法ケース 11

ケース 12



簡便法

(破線矩形は詳細法計算領域)



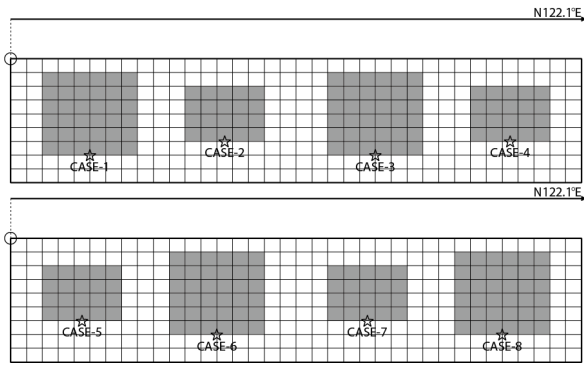
震度分布図

震源断層を特定した地震動予測地図：長野盆地西縁断層帯 飯山-千曲区間

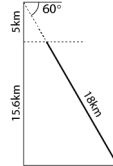
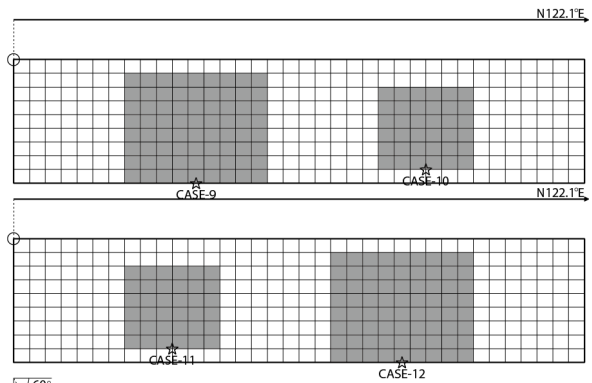
震源断層を特定した地震動予測地図：深谷断層帯

深谷断層帯（F014701）断層パラメータ

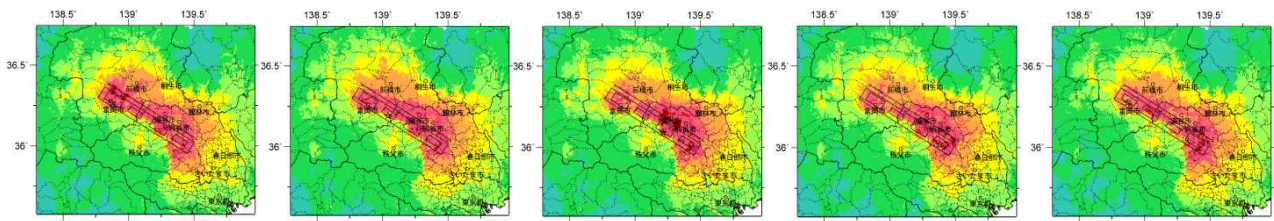
巨視的震源パラメータ		設定方法		
断層長さ L [km]		長期評価による		
地震規模 M		$M = (\log L + 2.9) / 0.6$		
地震モーメント M_0 [Nm]		$\log M_0 = 1.17 \cdot M + 10.72$		
モーメントマグニチュード M_w		$M_w = (\log M_0 - 9.1) / 1.5$		
断層モデル総面積 S_{model} [km ²]		$S_{\text{model}} = \Sigma S_{\text{model_seg}}$		
静的応力降下量 $\Delta\sigma$ [MPa]		$\Delta\sigma = 7/16 \cdot (M_0 / R^3), R = (S_{\text{model}} / \pi)^{1/2}$		
平均すべり量 D [m]		$D = M_0 / (\mu \cdot S_{\text{model}})$		
断層モデル原点（地中） [°N]		長期評価に基づく	36.366	36.366
断層モデル原点（地中） [°E]		長期評価に基づく	138.821	138.821
走向 θ [度]		長期評価に基づく	122.1	122.1
傾斜角 δ [度]		長期評価に基づく	60.0	60.0
すべり角 λ [度]		「逆断層」	90	90
断層モデル上端深さ H_s [km]		地震基盤と2kmの深い方	5	5
断層モデル深さ下限 H_d [km]		長期評価に基づく	20	20
断層モデル長さ L_{model} [km]		「レシピ」の（イ）の手順に従う	36	72
断層モデル幅 W_{model} [km]		「レシピ」の（イ）の手順に従う	18	18
断層モデル面積 $S_{\text{model_seg}}$ [km ²]		$S_{\text{model_seg}} = L_{\text{model_seg}} \cdot W_{\text{model_seg}}$	648	1296
セグメント地震モーメント $M_{0\text{seg}}$ [Nm]		$S_{\text{model_seg}}$ の1.5乗に応じて分配	4.57E+19	9.14E+19
セグメント平均すべり量 D_{seg} [m]		$D_{\text{seg}} = M_{0\text{seg}} / (\mu \cdot S_{\text{model_seg}})$	2.26	2.26
微視的震源パラメータ		設定方法	ケース 1~8	9~12
短周期レベル A [Nm/s ²]		$A = 2.46 \times 10^{10} \times (M_0 \times 10^7)^{1/3}$	2.39E+19	
全 ア ス ペ リ	面積 S_a [km ²]	$S_a = \pi r^2, r = (7\pi/4) \cdot \{M_0 / (A \cdot R)\} \cdot \beta^2$	450.6	
	実効応力 σ_a [MPa]	$\sigma_a = \Delta\sigma_a = 7/16 \cdot M_0 / (r^2 \cdot R)$	13.7	
	セグメント面積 S_{a1} [km ²]	$S_{\text{model_seg}}$ に応じて分配	225.3	450.6
	平均すべり量 D_a [m]	$D_a = \gamma_D \cdot D_{\text{seg}}, \gamma_D = 2.0$	4.52	4.52
	地震モーメント M_{0a} [Nm]	$M_{0a} = \mu \cdot D_a \cdot S_a$	3.18E+19	6.35E+19
ア ス ペ リ 1	面積 S_{a1} [km ²]	$S_{a1} = S_a \cdot (2/3)$ または $S_{a1} = S_a$	150.2	300.4
	実効応力 σ_{a1} [MPa]	$\sigma_{a1} = \sigma_a$	13.7	13.7
	平均すべり量 D_{a1} [m]	$D_{a1} = (\gamma_1 / \Sigma \gamma_i^3) \cdot D_a$ または $D_{a1} = D_a$	5.01	5.01
	計算用面積 [km ²]	2kmメッシュサイズ	12 × 12	18 × 16
ア ス ペ リ 2	面積 S_{a2} [km ²]	$S_{a2} = S_a / 3$ または 「なし」	75.1	150.2
	実効応力 σ_{a2} [MPa]	$\sigma_{a2} = \sigma_a$ または 「なし」	13.7	13.7
	平均すべり量 D_{a2} [m]	$D_{a2} = (\gamma_2 / \Sigma \gamma_i^3) \cdot D_a$ または 「なし」	3.54	3.54
	計算用面積 [km ²]	2kmメッシュサイズ	10 × 8	12 × 12
背 景 領 域	面積 S_b [km ²]	$S_b = S_{\text{model}} - S_a$	422.7	845.4
	実効応力 σ_b [MPa]	$\sigma_b = (D_b / W_b) \cdot (\pi^{1/2} / D_a) \cdot r \cdot \Sigma \gamma_i^3 \cdot \sigma_a$	2.0	2.8
	平均すべり量 D_b [m]	$D_b = M_{0b} / (\mu \cdot S_b)$	1.05	1.05
	地震モーメント M_{0b} [Nm]	$M_{0b} = M_0 - M_{0a}$	1.39E+19	2.78E+19



アスペリティと破壊開始点の配置図



傾斜方向断面図



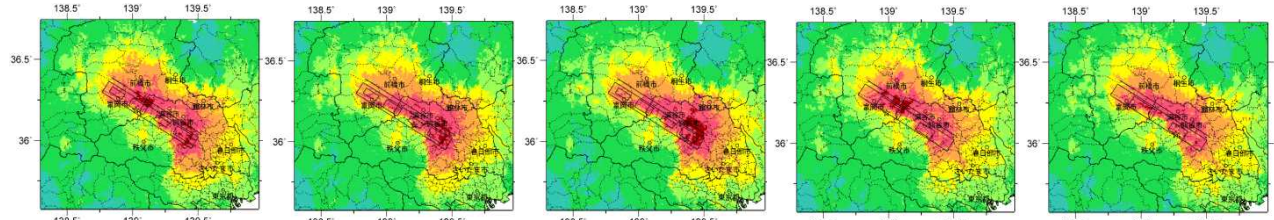
詳細法ケース 1

ケース 2

ケース 3

ケース 4

ケース 5



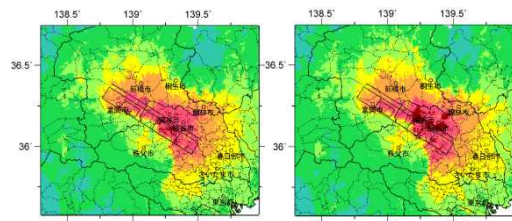
詳細法ケース 6

ケース 7

ケース 8

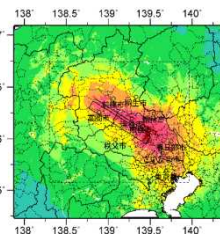
ケース 9

ケース 10



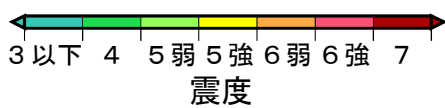
詳細法ケース 11

ケース 12



簡便法

(破線矩形は詳細法計算領域)



震度

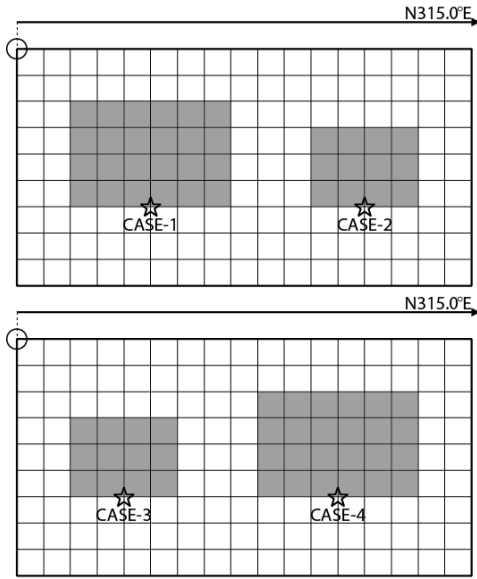
震度分布図

震源断層を特定した地震動予測地図：深谷断層帯

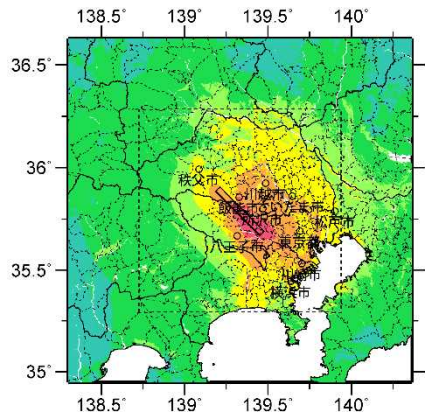
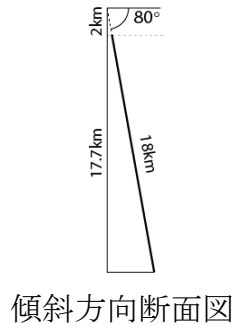
震源断層を特定した地震動予測地図：立川断層帯

立川断層帯 (F014901) 断層パラメータ

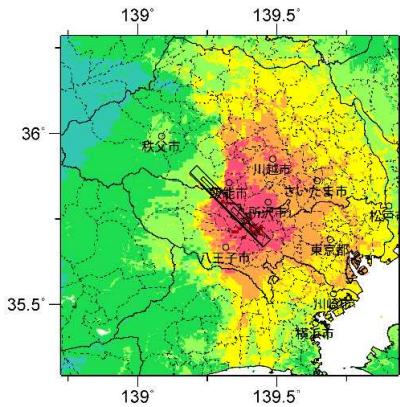
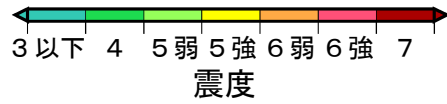
巨視的震源パラメータ		設定方法	
断層長さ L [km]		長期評価による	33
地震規模 M		$M = (\log L + 2.9) / 0.6$	7.4
地震モーメント M_0 [Nm]		$\log M_0 = 1.17 \cdot M + 10.72$	2.17E+19
モーメントマグニチュード M_w		$M_w = (\log M_0 - 9.1) / 1.5$	6.8
断層モデル面積 S_{model} [km ²]		$S_{\text{model}} = L_{\text{model}} \cdot W_{\text{model}}$	612
静的応力降下量 $\Delta\sigma$ [MPa]		$\Delta\sigma = 7/16 \cdot (M_0 / R^3), R = (S_{\text{model}} / \pi)^{1/2}$	3.5
平均すべり量 D [m]		$D = M_0 / (\mu \cdot S_{\text{model}})$	1.14
断層モデル原点 (地中) [°N]		長期評価に基づく	35.669
断層モデル原点 (地中) [°E]		長期評価に基づく	139.453
走向 θ [度]		長期評価に基づく	315.0
傾斜角 δ [度]		長期評価に基づく	80.0
すべり角 λ [度]		これまでと同様に逆断層と仮定	90
断層モデル上端深さ H_s [km]		地震基盤と2kmの深い方	2
断層モデル深さ下限 H_d [km]		長期評価に基づく	20
断層モデル長さ L_{model} [km]		「レシピ」の(イ)の手順に従う	34
断層モデル幅 W_{model} [km]		「レシピ」の(イ)の手順に従う	18
微視的震源パラメータ		設定方法	ケース1~4
短周期レベル A [Nm/s ²]		$A = 2.46 \times 10^{10} \times (M_0 \times 10^7)^{1/3}$	1.48E+19
全 ア ス ペ リ	面積 S_a [km ²]	$S_a = \pi r^2, r = (7\pi/4) \cdot \{M_0 / (A \cdot R)\} \cdot \beta^2$	140.2
	実効応力 σ_a [MPa]	$\sigma_a = \Delta\sigma_a = 7/16 \cdot M_0 / (r^2 \cdot R)$	15.2
	平均すべり量 D_a [m]	$D_a = \gamma_D \cdot D, \gamma_D = 2.0$	2.27
	地震モーメント M_{0a} [Nm]	$M_{0a} = \mu \cdot D_a \cdot S_a$	9.93E+18
ア ス ペ リ 1	面積 S_{a1} [km ²]	$S_{a1} = S_a \cdot (2/3)$ または $S_{a1} = S_a$	93.5
	実効応力 σ_{a1} [MPa]	$\sigma_{a1} = \sigma_a$	15.2
	平均すべり量 D_{a1} [m]	$D_{a1} = (\gamma_1 / \Sigma\gamma_i^3) \cdot D_a$ または $D_{a1} = D_a$	2.52
	計算用面積 [km ²]	2kmメッシュサイズ	12 × 8
ア ス ペ リ 2	面積 S_{a2} [km ²]	$S_{a2} = S_a / 3$ または 「なし」	46.7
	実効応力 σ_{a2} [MPa]	$\sigma_{a2} = \sigma_a$ または 「なし」	15.2
	平均すべり量 D_{a2} [m]	$D_{a2} = (\gamma_2 / \Sigma\gamma_i^3) \cdot D_a$ または 「なし」	1.78
	計算用面積 [km ²]	2kmメッシュサイズ	8 × 6
背 景 領 域	面積 S_b [km ²]	$S_b = S_{\text{model}} - S_a$	471.8
	実効応力 σ_b [MPa]	$\sigma_b = (D_b / W_b) \cdot (\pi^{1/2} / D_a) \cdot r \cdot \Sigma\gamma_i^3 \cdot \sigma_a$	2.6
	平均すべり量 D_b [m]	$D_b = M_{0b} / (\mu \cdot S_b)$	0.80
	地震モーメント M_{0b} [Nm]	$M_{0b} = M_0 - M_{0a}$	1.17E+19



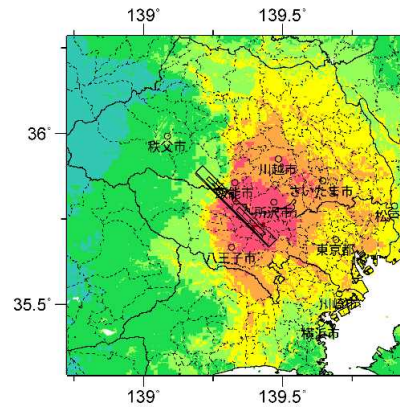
アスペリティと破壊開始点の配置図



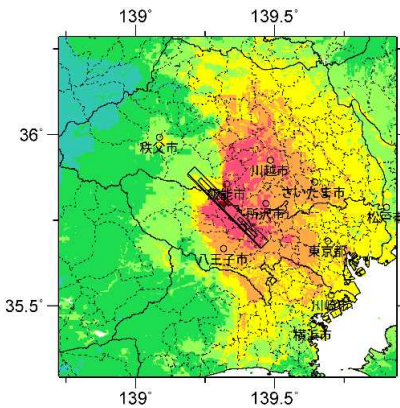
簡便法
(破線矩形は詳細法計算領域)



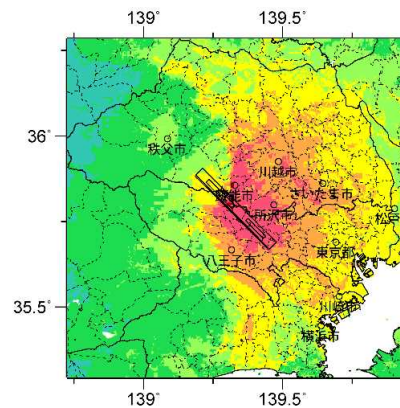
詳細法ケース 1



詳細法ケース 2



詳細法ケース 3



詳細法ケース 4

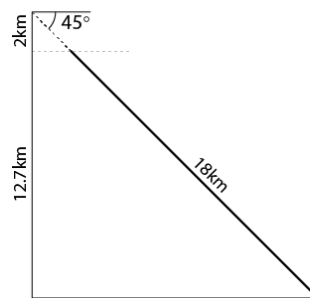
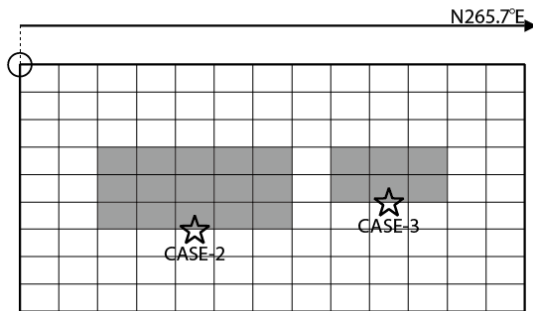
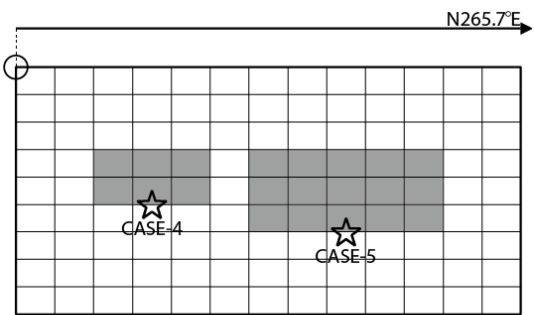
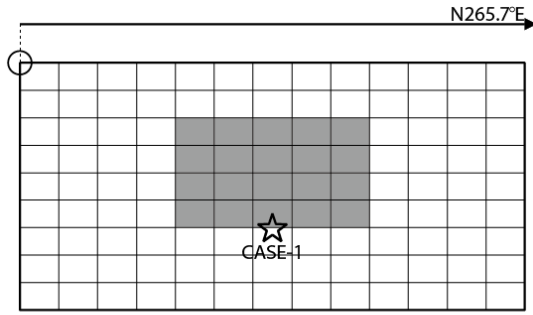
震度分布図

震源断層を特定した地震動予測地図：立川断層帯

震源断層を特定した地震動予測地図：鴨川低地断層帯

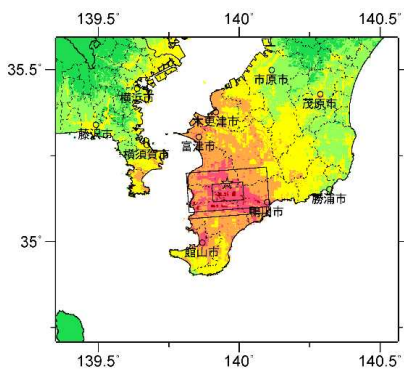
鴨川低地断層帯 (F015001) 断層パラメータ

巨視的震源パラメータ		設定方法		
断層長さ L [km]		長期評価による	25	
地震規模 M		$M = (\log L + 2.9) / 0.6$	7.2	
地震モーメント M_0 [Nm]		$\log M_0 = 1.17 \cdot M + 10.72$	1.26E+19	
モーメントマグニチュード M_w		$M_w = (\log M_0 - 9.1) / 1.5$	6.7	
断層モデル面積 S_{model} [km ²]		$S_{\text{model}} = L_{\text{model}} \cdot W_{\text{model}}$	468	
静的応力降下量 $\Delta\sigma$ [MPa]		$\Delta\sigma = 7/16 \cdot (M_0 / R^3), R = (S_{\text{model}} / \pi)^{1/2}$	3.0	
平均すべり量 D [m]		$D = M_0 / (\mu \cdot S_{\text{model}})$	0.86	
断層モデル原点 (地中) [°N]		長期評価に基づく	35.102	
断層モデル原点 (地中) [°E]		長期評価に基づく	140.107	
走向 θ [度]		長期評価に基づく	265.7	
傾斜角 δ [度]		長期評価に基づく	45.0	
すべり角 λ [度]		これまでと同様と仮定	-90	
断層モデル上端深さ H_s [km]		地震基盤と2kmの深い方	2	
断層モデル深さ下限 H_d [km]		長期評価に基づく	15	
断層モデル長さ L_{model} [km]		「レシピ」の (イ) の手順に従う	26	
断層モデル幅 W_{model} [km]		「レシピ」の (イ) の手順に従う	18	
微視的震源パラメータ		設定方法	ケース 1~5	
短周期レベル A [Nm/s ²]		$A = 2.46 \times 10^{10} \times (M_0 \times 10^7)^{1/3}$	1.23E+19	
全 ア ス ペ リ	面積 S_a [km ²]	$S_a = \pi r^2, r = (7\pi/4) \cdot \{M_0 / (A \cdot R)\} \cdot \beta^2$	89.1	
	実効応力 σ_a [MPa]	$\sigma_a = \Delta\sigma_a = 7/16 \cdot M_0 / (r^2 \cdot R)$	16.0	
	平均すべり量 D_a [m]	$D_a = \gamma_D \cdot D, \gamma_D = 2.0$	1.73	
	地震モーメント M_{0a} [Nm]	$M_{0a} = \mu \cdot D_a \cdot S_a$	4.80E+18	
ア ス ペ リ 1	面積 S_{a1} [km ²]	$S_{a1} = S_a \cdot (2/3)$ または $S_{a1} = S_a$	89.1	59.4
	実効応力 σ_{a1} [MPa]	$\sigma_{a1} = \sigma_a$	16.0	16.0
	平均すべり量 D_{a1} [m]	$D_{a1} = (\gamma_1 / \Sigma\gamma_i^3) \cdot D_a$ または $D_{a1} = D_a$	1.73	1.91
	計算用面積 [km ²]	2kmメッシュサイズ	10 × 8	10 × 6
ア ス ペ リ 2	面積 S_{a2} [km ²]	$S_{a2} = S_a / 3$ または 「なし」		29.7
	実効応力 σ_{a2} [MPa]	$\sigma_{a2} = \sigma_a$ または 「なし」		16.0
	平均すべり量 D_{a2} [m]	$D_{a2} = (\gamma_2 / \Sigma\gamma_i^3) \cdot D_a$ または 「なし」		1.35
	計算用面積 [km ²]	2kmメッシュサイズ		8 × 4
背 景 領 域	面積 S_b [km ²]	$S_b = S_{\text{model}} - S_a$	378.9	378.9
	実効応力 σ_b [MPa]	$\sigma_b = (D_b / W_b) \cdot (\pi^{1/2} / D_a) \cdot r \cdot \Sigma\gamma_i^3 \cdot \sigma_a$	2.7	2.4
	平均すべり量 D_b [m]	$D_b = M_{0b} / (\mu \cdot S_b)$	0.66	0.66
	地震モーメント M_{0b} [Nm]	$M_{0b} = M_0 - M_{0a}$	7.81E+18	7.81E+18

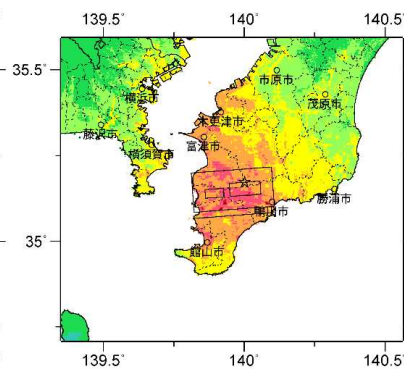


アスペリティと破壊開始点の配置図

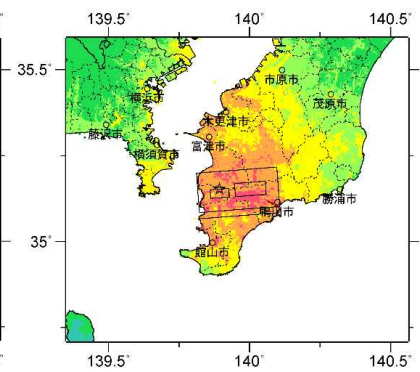
傾斜方向断面図



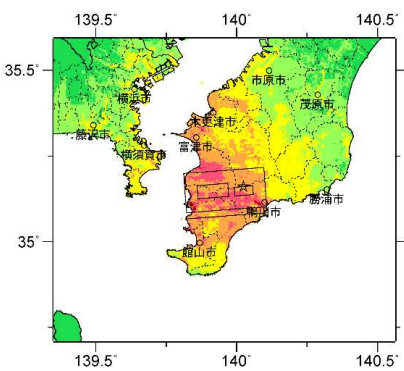
詳細法ケース 1



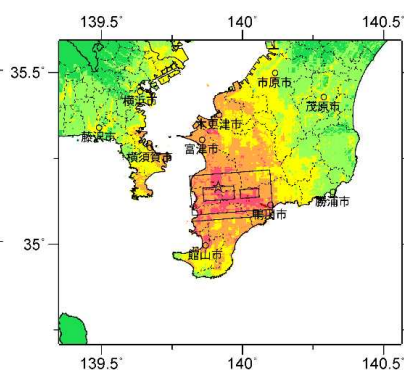
詳細法ケース 2



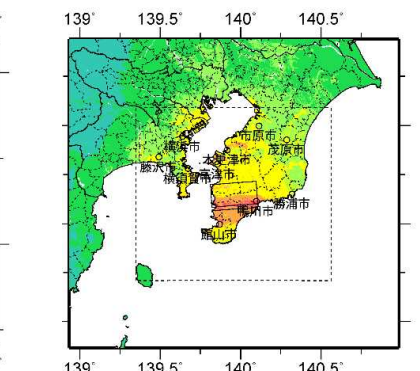
詳細法ケース 3



詳細法ケース 4

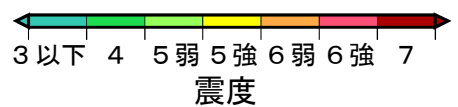


詳細法ケース 5



簡便法

(破線矩形は詳細法計算領域)



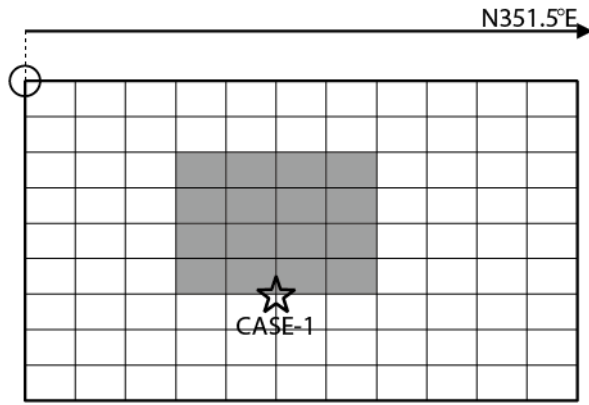
震度分布図

震源断層を特定した地震動予測地図：鴨川低地断層帯

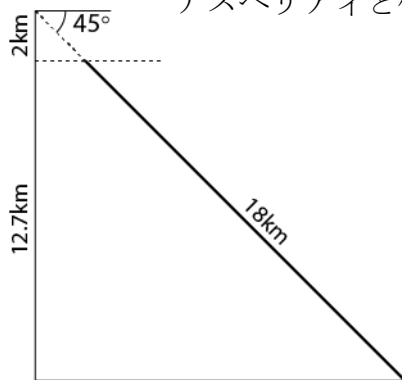
震源断層を特定した地震動予測地図：伊勢原断層

伊勢原断層 (F015201) 断層パラメータ

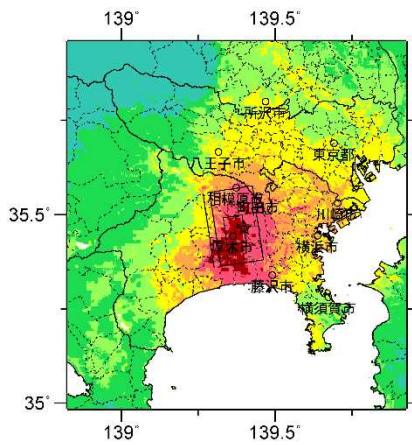
巨視的震源パラメータ		設定方法	
断層長さ L [km]		長期評価による	21
地震規模 M		$M = (\log L + 2.9) / 0.6$	7.0
地震モーメント M_0 [Nm]		$\log M_0 = 1.17 \cdot M + 10.72$	8.98E+18
モーメントマグニチュード M_w		$M_w = (\log M_0 - 9.1) / 1.5$	6.6
断層モデル面積 S_{model} [km ²]		$S_{\text{model}} = L_{\text{model}} \cdot W_{\text{model}}$	396
静的応力降下量 $\Delta\sigma$ [MPa]		$\Delta\sigma = 7/16 \cdot (M_0 / R^3), R = (S_{\text{model}} / \pi)^{1/2}$	2.8
平均すべり量 D [m]		$D = M_0 / (\mu \cdot S_{\text{model}})$	0.73
断層モデル原点 (地中) [°N]		長期評価に基づく	35.363
断層モデル原点 (地中) [°E]		長期評価に基づく	139.323
走向 θ [度]		長期評価に基づく	351.5
傾斜角 δ [度]		長期評価に基づく	45.0
すべり角 λ [度]		「逆断層」	90
断層モデル上端深さ H_s [km]		地震基盤と2kmの深い方	2
断層モデル深さ下限 H_d [km]		長期評価に基づく	15
断層モデル長さ L_{model} [km]		「レシピ」の(イ)の手順に従う	22
断層モデル幅 W_{model} [km]		「レシピ」の(イ)の手順に従う	18
微視的震源パラメータ		設定方法	ケース1
短周期レベル A [Nm/s ²]		$A = 2.46 \times 10^{10} \times (M_0 \times 10^7)^{1/3}$	1.10E+19
全 ア ス ペ リ	面積 S_a [km ²]	$S_a = \pi r^2, r = (7\pi/4) \cdot \{M_0 / (A \cdot R)\} \cdot \beta^2$	66.9
	実効応力 σ_a [MPa]	$\sigma_a = \Delta\sigma_a = 7/16 \cdot M_0 / (r^2 \cdot R)$	16.4
	平均すべり量 D_a [m]	$D_a = \gamma_D \cdot D, \gamma_D = 2.0$	1.45
	地震モーメント M_{0a} [Nm]	$M_{0a} = \mu \cdot D_a \cdot S_a$	3.03E+18
ア ス ペ リ 1	面積 S_{a1} [km ²]	$S_{a1} = S_a \cdot (2/3)$ または $S_{a1} = S_a$	66.9
	実効応力 σ_{a1} [MPa]	$\sigma_{a1} = \sigma_a$	16.4
	平均すべり量 D_{a1} [m]	$D_{a1} = (\gamma_1 / \Sigma\gamma_i^3) \cdot D_a$ または $D_{a1} = D_a$	1.45
	計算用面積 [km ²]	2kmメッシュサイズ	8 × 8
ア ス ペ リ 2	面積 S_{a2} [km ²]	$S_{a2} = S_a / 3$ または 「なし」	
	実効応力 σ_{a2} [MPa]	$\sigma_{a2} = \sigma_a$ または 「なし」	
	平均すべり量 D_{a2} [m]	$D_{a2} = (\gamma_2 / \Sigma\gamma_i^3) \cdot D_a$ または 「なし」	
	計算用面積 [km ²]	2kmメッシュサイズ	
背 景 領 域	面積 S_b [km ²]	$S_b = S_{\text{model}} - S_a$	329.1
	実効応力 σ_b [MPa]	$\sigma_b = (D_b / W_b) \cdot (\pi^{1/2} / D_a) \cdot r \cdot \Sigma\gamma_i^3 \cdot \sigma_a$	2.8
	平均すべり量 D_b [m]	$D_b = M_{0b} / (\mu \cdot S_b)$	0.58
	地震モーメント M_{0b} [Nm]	$M_{0b} = M_0 - M_{0a}$	5.95E+18



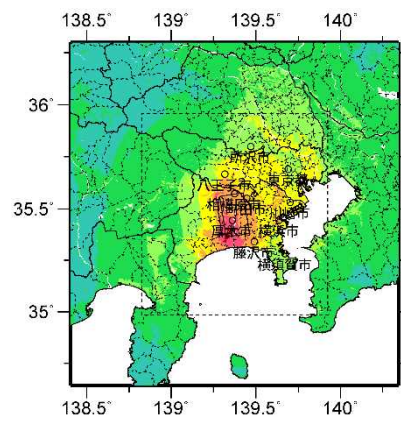
アスペリティと破壊開始点の配置図



傾斜方向断面図

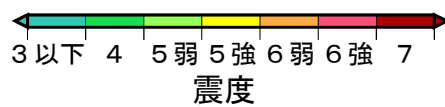


詳細法ケース 1



簡便法

(破線矩形は詳細法計算領域)



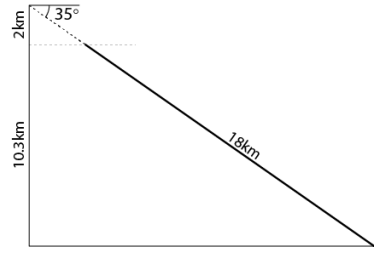
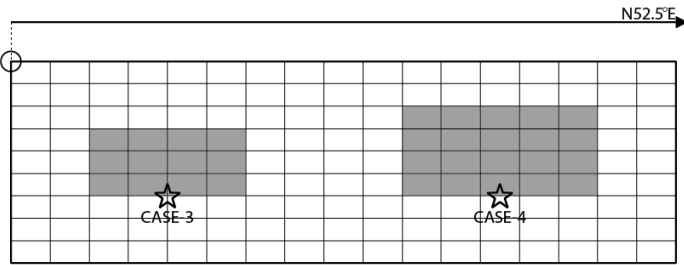
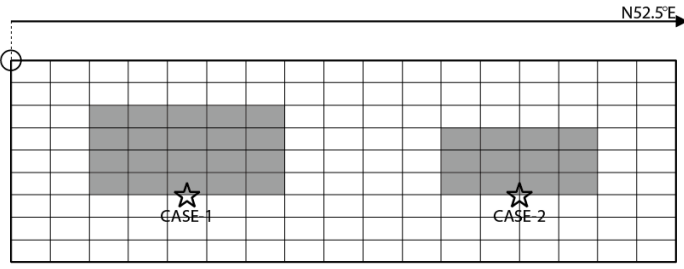
震度分布図

震源断層を特定した地震動予測地図：伊勢原断層

震源断層を特定した地震動予測地図：曾根丘陵断層帯

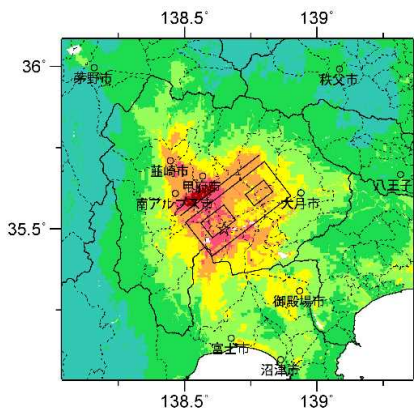
曾根丘陵断層帯 (F015401) 断層パラメータ

巨視的震源パラメータ		設定方法	
断層長さ L [km]		長期評価による	32
地震規模 M		$M = (\log L + 2.9) / 0.6$	7.3
地震モーメント M_0 [Nm]		$\log M_0 = 1.17 \cdot M + 10.72$	2.04E+19
モーメントマグニチュード M_w		$M_w = (\log M_0 - 9.1) / 1.5$	6.8
断層モデル面積 S_{model} [km ²]		$S_{\text{model}} = L_{\text{model}} \cdot W_{\text{model}}$	612
静的応力降下量 $\Delta\sigma$ [MPa]		$\Delta\sigma = 7/16 \cdot (M_0 / R^3), R = (S_{\text{model}} / \pi)^{1/2}$	3.3
平均すべり量 D [m]		$D = M_0 / (\mu \cdot S_{\text{model}})$	1.07
断層モデル原点 (地中) [°N]		長期評価に基づく	35.520
断層モデル原点 (地中) [°E]		長期評価に基づく	138.504
走向 θ [度]		長期評価に基づく	52.5
傾斜角 δ [度]		長期評価に基づく	35.0
すべり角 λ [度]		「逆断層」	90
断層モデル上端深さ H_s [km]		地震基盤と2kmの深い方	2
断層モデル深さ下限 H_d [km]		長期評価に基づく	15
断層モデル長さ L_{model} [km]		「レシピ」の(イ)の手順に従う	34
断層モデル幅 W_{model} [km]		「レシピ」の(イ)の手順に従う	18
微視的震源パラメータ		設定方法	ケース1~4
短周期レベル A [Nm/s ²]		$A = 2.46 \times 10^{10} \times (M_0 \times 10^7)^{1/3}$	1.45E+19
全 ア ス ペ リ	面積 S_a [km ²]	$S_a = \pi r^2, r = (7\pi/4) \cdot \{M_0 / (A \cdot R)\} \cdot \beta^2$	129.4
	実効応力 σ_a [MPa]	$\sigma_a = \Delta\sigma_a = 7/16 \cdot M_0 / (r^2 \cdot R)$	15.5
	平均すべり量 D_a [m]	$D_a = \gamma_D \cdot D, \gamma_D = 2.0$	2.14
	地震モーメント M_{0a} [Nm]	$M_{0a} = \mu \cdot D_a \cdot S_a$	8.64E+18
ア ス ペ リ 1	面積 S_{a1} [km ²]	$S_{a1} = S_a \cdot (2/3)$ または $S_{a1} = S_a$	86.3
	実効応力 σ_{a1} [MPa]	$\sigma_{a1} = \sigma_a$	15.5
	平均すべり量 D_{a1} [m]	$D_{a1} = (\gamma_1 / \Sigma\gamma_i^3) \cdot D_a$ または $D_{a1} = D_a$	2.37
	計算用面積 [km ²]	2kmメッシュサイズ	10 × 8
ア ス ペ リ 2	面積 S_{a2} [km ²]	$S_{a2} = S_a / 3$ または 「なし」	43.1
	実効応力 σ_{a2} [MPa]	$\sigma_{a2} = \sigma_a$ または 「なし」	15.5
	平均すべり量 D_{a2} [m]	$D_{a2} = (\gamma_2 / \Sigma\gamma_i^3) \cdot D_a$ または 「なし」	1.68
	計算用面積 [km ²]	2kmメッシュサイズ	8 × 6
背 景 領 域	面積 S_b [km ²]	$S_b = S_{\text{model}} - S_a$	482.6
	実効応力 σ_b [MPa]	$\sigma_b = (D_b / W_b) \cdot (\pi^{1/2} / D_a) \cdot r \cdot \Sigma\gamma_i^3 \cdot \sigma_a$	2.6
	平均すべり量 D_b [m]	$D_b = M_{0b} / (\mu \cdot S_b)$	0.78
	地震モーメント M_{0b} [Nm]	$M_{0b} = M_0 - M_{0a}$	1.18E+19

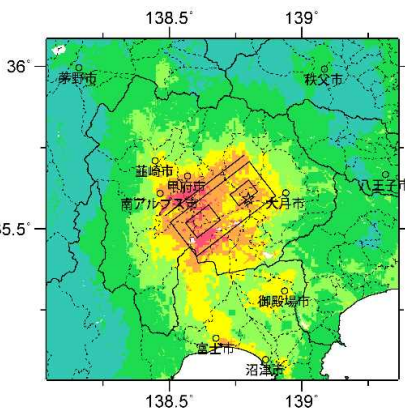


傾斜方向断面図

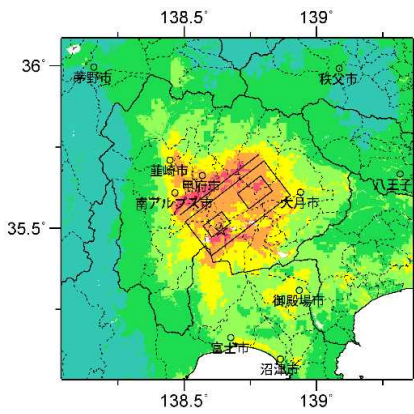
アスペリティと破壊開始点の配置図



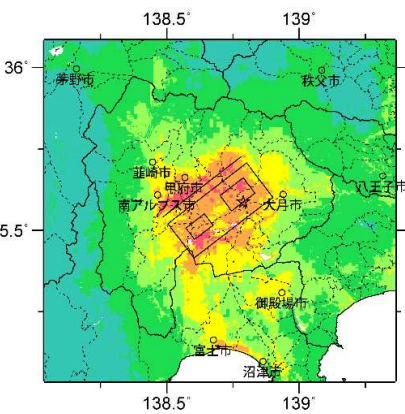
詳細法ケース 1



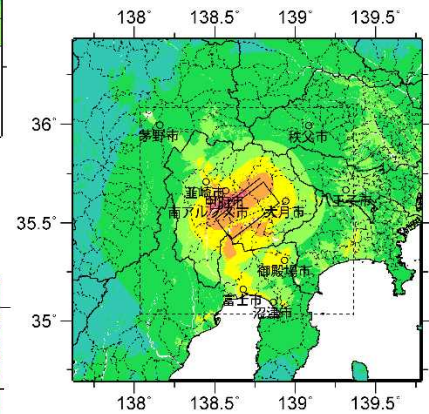
詳細法ケース 2



詳細法ケース 3

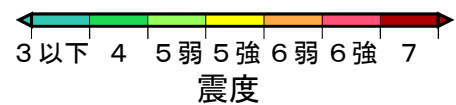


詳細法ケース 4



簡便法

(破線矩形は詳細法計算領域)



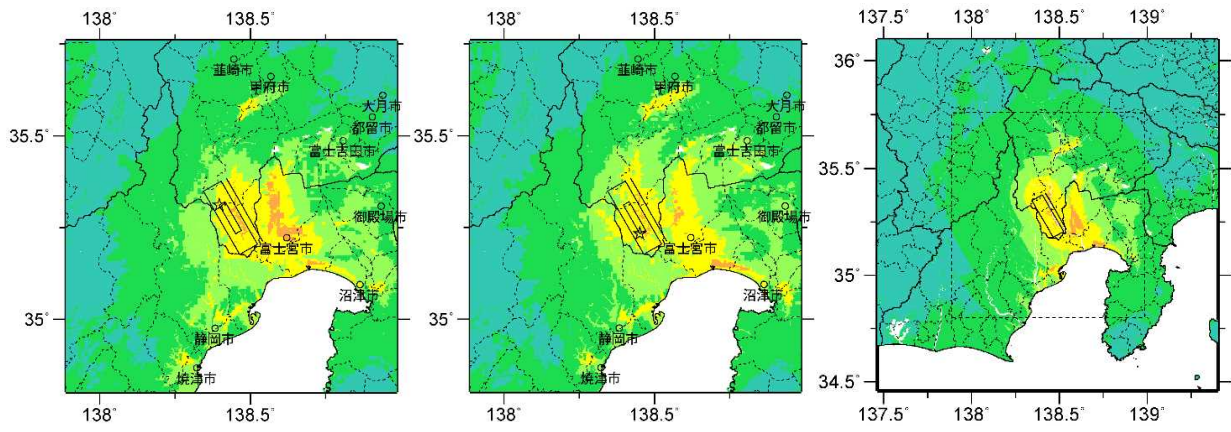
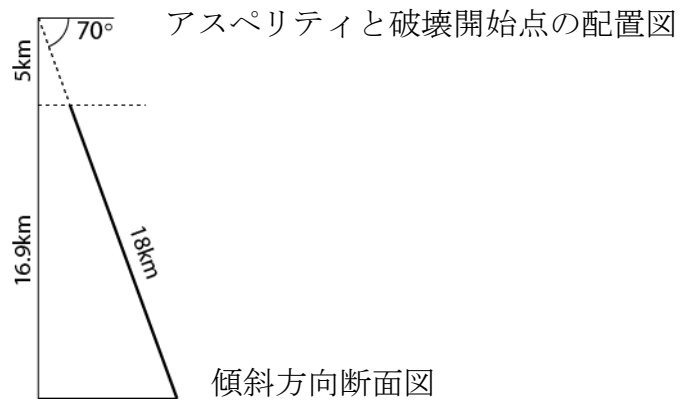
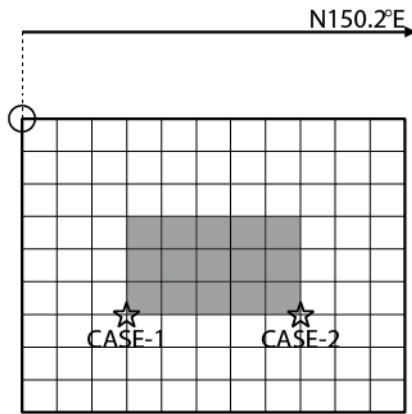
震度分布図

震源断層を特定した地震動予測地図：曾根丘陵断層帯

震源断層を特定した地震動予測地図：身延断層

身延断層（F015601）断層パラメータ

巨視的震源パラメータ		設定方法	
断層長さ L [km]		長期評価による	20
地震規模 M		$M = (\log L + 2.9) / 0.6$	7.0
地震モーメント M_0 [Nm]		$\log M_0 = 1.17 \cdot M + 10.72$	8.17E+18
モーメントマグニチュード M_w		$M_w = (\log M_0 - 9.1) / 1.5$	6.5
断層モデル面積 S_{model} [km ²]		$S_{\text{model}} = L_{\text{model}} \cdot W_{\text{model}}$	396
静的応力降下量 $\Delta\sigma$ [MPa]		$\Delta\sigma = 7/16 \cdot (M_0 / R^3), R = (S_{\text{model}} / \pi)^{1/2}$	2.5
平均すべり量 D [m]		$D = M_0 / (\mu \cdot S_{\text{model}})$	0.66
断層モデル原点（地中） [°N]		長期評価に基づく	35.377
断層モデル原点（地中） [°E]		長期評価に基づく	138.403
走向 θ [度]		長期評価に基づく	150.2
傾斜角 δ [度]		長期評価に基づく	70.0
すべり角 λ [度]		「左横ずれ断層」	0
断層モデル上端深さ H_s [km]		地震基盤と2kmの深い方	5
断層モデル深さ下限 H_d [km]		長期評価に基づく	20
断層モデル長さ L_{model} [km]		「レシピ」の（イ）の手順に従う	22
断層モデル幅 W_{model} [km]		「レシピ」の（イ）の手順に従う	18
微視的震源パラメータ		設定方法	ケース1～2
短周期レベル A [Nm/s ²]		$A = 2.46 \times 10^{10} \times (M_0 \times 10^7)^{1/3}$	1.07E+19
全 ア ス ペ リ	面積 S_a [km ²]	$S_a = \pi r^2, r = (7\pi/4) \cdot \{M_0 / (A \cdot R)\} \cdot \beta^2$	58.9
	実効応力 σ_a [MPa]	$\sigma_a = \Delta\sigma_a = 7/16 \cdot M_0 / (r^2 \cdot R)$	17.0
	平均すべり量 D_a [m]	$D_a = \gamma_D \cdot D, \gamma_D = 2.0$	1.32
	地震モーメント M_{0a} [Nm]	$M_{0a} = \mu \cdot D_a \cdot S_a$	2.43E+18
ア ス ペ リ 1	面積 S_{a1} [km ²]	$S_{a1} = S_a \cdot (2/3)$ または $S_{a1} = S_a$	58.9
	実効応力 σ_{a1} [MPa]	$\sigma_{a1} = \sigma_a$	17.0
	平均すべり量 D_{a1} [m]	$D_{a1} = (\gamma_1 / \sum \gamma_i^3) \cdot D_a$ または $D_{a1} = D_a$	1.32
	計算用面積 [km ²]	2kmメッシュサイズ	10 × 6
ア ス ペ リ 2	面積 S_{a2} [km ²]	$S_{a2} = S_a / 3$ または 「なし」	
	実効応力 σ_{a2} [MPa]	$\sigma_{a2} = \sigma_a$ または 「なし」	
	平均すべり量 D_{a2} [m]	$D_{a2} = (\gamma_2 / \sum \gamma_i^3) \cdot D_a$ または 「なし」	
	計算用面積 [km ²]	2kmメッシュサイズ	
背 景 領 域	面積 S_b [km ²]	$S_b = S_{\text{model}} - S_a$	337.1
	実効応力 σ_b [MPa]	$\sigma_b = (D_b / W_b) \cdot (\pi^{1/2} / D_a) \cdot r \cdot \sum \gamma_i^3 \cdot \sigma_a$	2.3
	平均すべり量 D_b [m]	$D_b = M_{0b} / (\mu \cdot S_b)$	0.55
	地震モーメント M_{0b} [Nm]	$M_{0b} = M_0 - M_{0a}$	5.74E+18

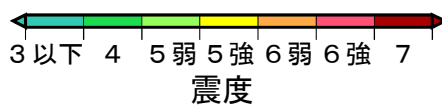


詳細法ケース 1

詳細法ケース 2

簡便法

(破線矩形は詳細法計算領域)



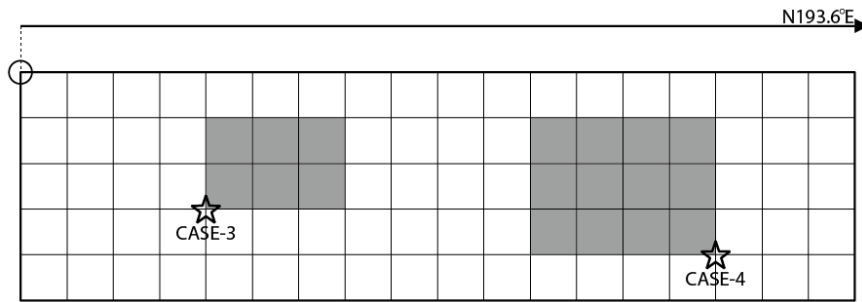
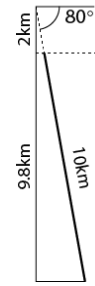
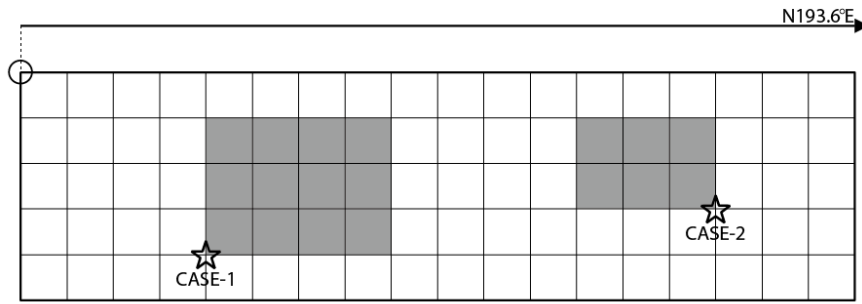
震度分布図

震源断層を特定した地震動予測地図：身延断層

震源断層を特定した地震動予測地図：北伊豆断層帯

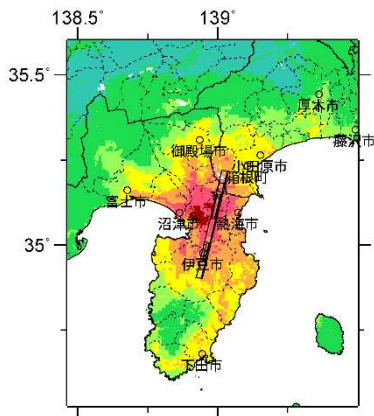
北伊豆断層帯 (F015701) 断層パラメータ

巨視的震源パラメータ		設定方法	
断層長さ L [km]		長期評価による	32
地震規模 M		$M = (\log L + 2.9) / 0.6$	7.3
地震モーメント M_0 [Nm]		$\log M_0 = 1.17 \cdot M + 10.72$	2.04E+19
モーメントマグニチュード M_w		$M_w = (\log M_0 - 9.1) / 1.5$	6.8
断層モデル面積 S_{model} [km ²]		$S_{\text{model}} = L_{\text{model}} \cdot W_{\text{model}}$	360
静的応力降下量 $\Delta\sigma$ [MPa]		$\Delta\sigma = 3.1$ (Fujii and Matsu'ura, 2000)	3.1
平均すべり量 D [m]		$D = M_0 / (\mu \cdot S_{\text{model}})$	1.82
断層モデル原点 (地中) [°N]		長期評価に基づく	35.217
断層モデル原点 (地中) [°E]		長期評価に基づく	139.034
走向 θ [度]		長期評価に基づく	193.6
傾斜角 δ [度]		長期評価に基づく	80.0
すべり角 λ [度]		「左横ずれ断層」	0
断層モデル上端深さ H_s [km]		地震基盤と2kmの深い方	2
断層モデル深さ下限 H_d [km]		長期評価に基づく	10
断層モデル長さ L_{model} [km]		「レシピ」の(イ)の手順に従う	36
断層モデル幅 W_{model} [km]		「レシピ」の(イ)の手順に従う	10
微視的震源パラメータ		設定方法	ケース1
短周期レベル A [Nm/s ²]		$A = 4\pi \cdot r \cdot \Delta\sigma_a \cdot \beta^2$	1.03E+19
全 ア ス ペ リ	面積 S_a [km ²]	$S_a = 0.22 \cdot S_{\text{model}}$	79.2
	実効応力 σ_a [MPa]	$\sigma_a = \Delta\sigma_a = (S_{\text{model}} / S_a) \cdot \Delta\sigma$	14.1
	平均すべり量 D_a [m]	$D_a = \gamma_D \cdot D, \gamma_D = 2.0$	3.63
	地震モーメント M_{0a} [Nm]	$M_{0a} = \mu \cdot D_a \cdot S_a$	8.98E+18
ア ス ペ リ 1	面積 S_{a1} [km ²]	$S_{a1} = S_a \cdot (2/3)$ または $S_{a1} = S_a$	52.8
	実効応力 σ_{a1} [MPa]	$\sigma_{a1} = \sigma_a$	14.1
	平均すべり量 D_{a1} [m]	$D_{a1} = (\gamma_1 / \sum \gamma_i^3) \cdot D_a$ または $D_{a1} = D_a$	4.03
	計算用面積 [km ²]	2kmメッシュサイズ	8 × 6
ア ス ペ リ 2	面積 S_{a2} [km ²]	$S_{a2} = S_a / 3$ または 「なし」	26.4
	実効応力 σ_{a2} [MPa]	$\sigma_{a2} = \sigma_a$ または 「なし」	14.1
	平均すべり量 D_{a2} [m]	$D_{a2} = (\gamma_2 / \sum \gamma_i^3) \cdot D_a$ または 「なし」	2.85
	計算用面積 [km ²]	2kmメッシュサイズ	6 × 4
背 景 領 域	面積 S_b [km ²]	$S_b = S_{\text{model}} - S_a$	280.8
	実効応力 σ_b [MPa]	$\sigma_b = (D_b / W_b) \cdot (\pi^{1/2} / D_a) \cdot r \cdot \sum \gamma_i^3 \cdot \sigma_a$	3.1
	平均すべり量 D_b [m]	$D_b = M_{0b} / (\mu \cdot S_b)$	1.30
	地震モーメント M_{0b} [Nm]	$M_{0b} = M_0 - M_{0a}$	1.14E+19

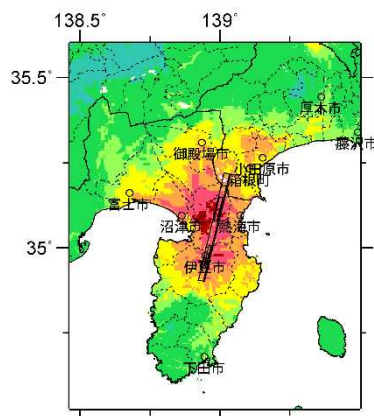


傾斜方向断面図

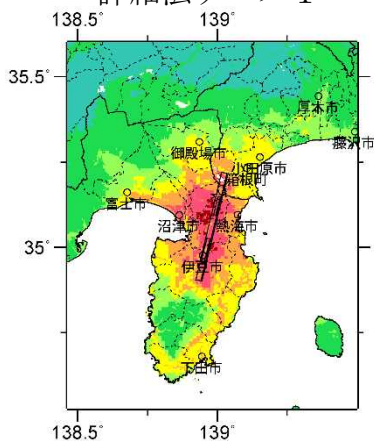
アスペリティと破壊開始点の配置図



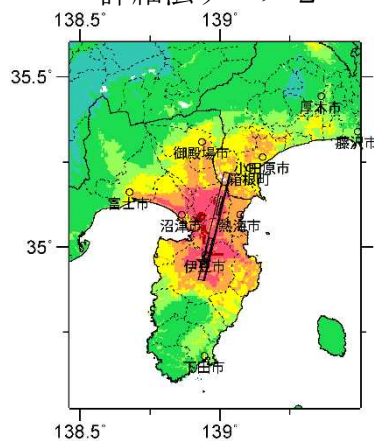
詳細法ケース 1



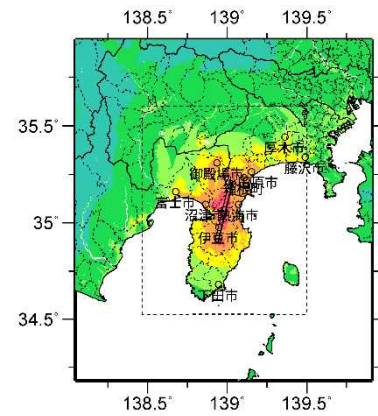
詳細法ケース 2



詳細法ケース 3

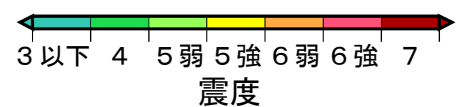


詳細法ケース 4



簡便法

(破線矩形は詳細法計算領域)



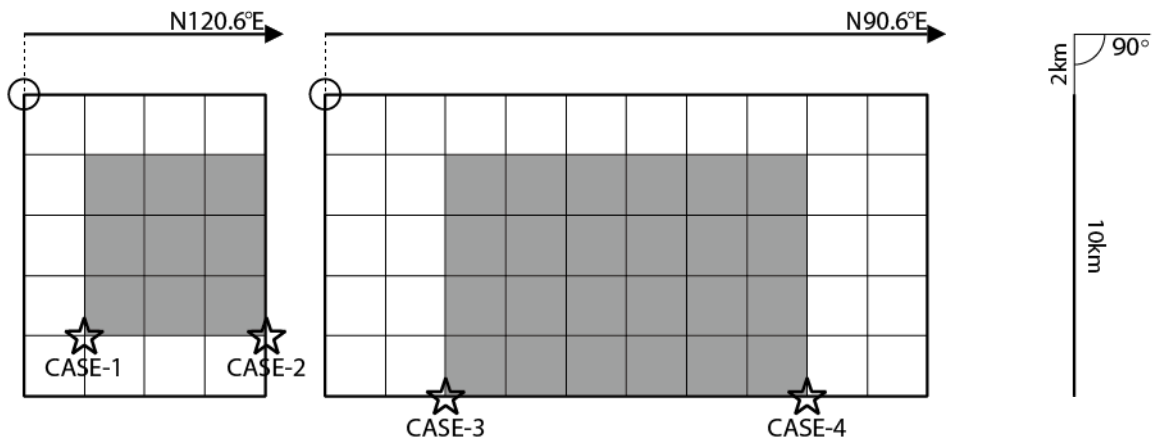
震度分布図

震源断層を特定した地震動予測地図：北伊豆断層帯

震源断層を特定した地震動予測地図：稲取断層帯

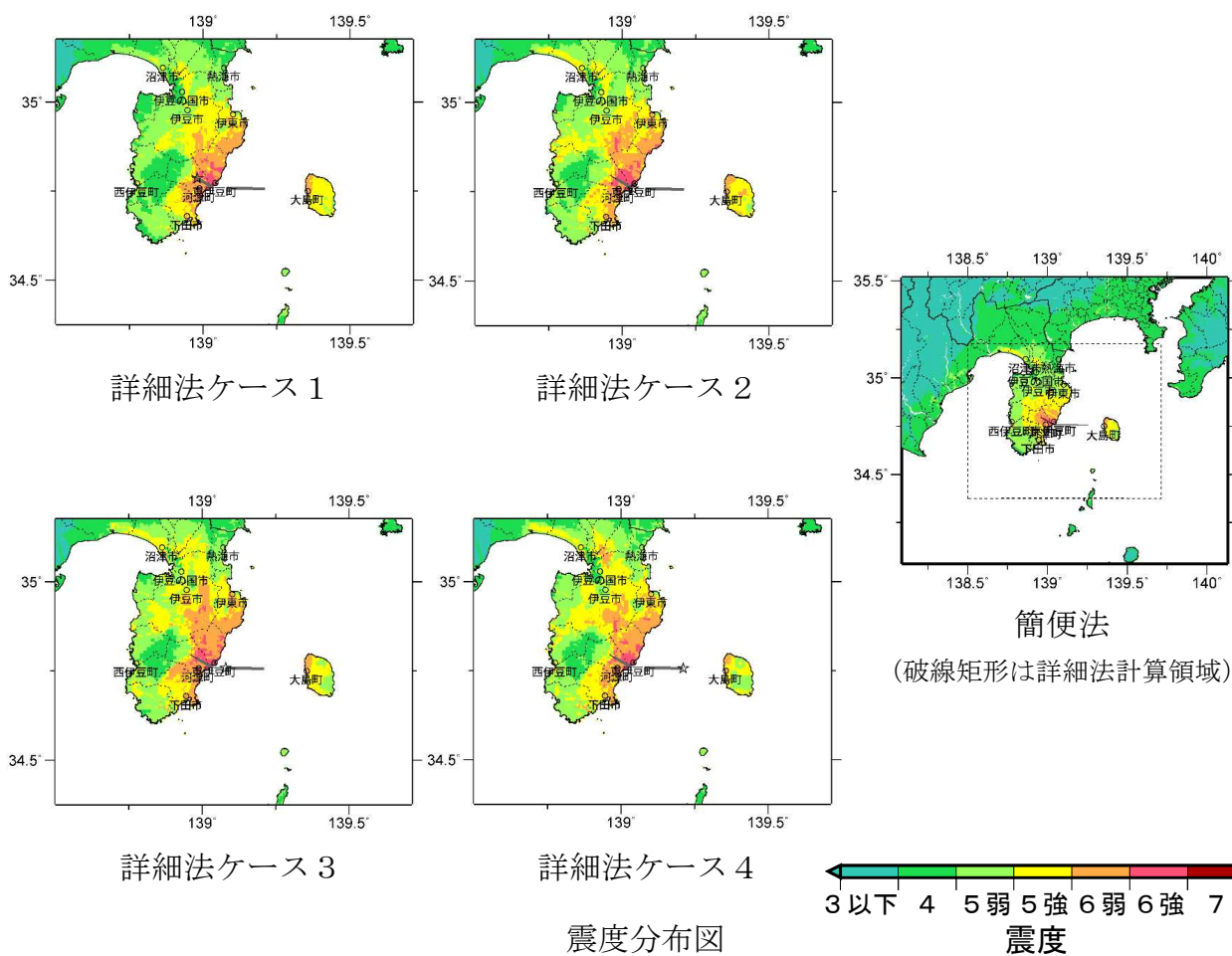
稲取断層帯 (F015901) 断層パラメータ

巨視的震源パラメータ		設定方法		
断層長さ L [km]		長期評価による	23	
地震規模 M		$M = (\log L + 2.9) / 0.6$	7.1	
地震モーメント M_0 [Nm]		$\log M_0 = 1.17 \cdot M + 10.72$	1.07E+19	
モーメントマグニチュード M_w		$M_w = (\log M_0 - 9.1) / 1.5$	6.6	
断層モデル総面積 S_{model} [km ²]		$S_{\text{model}} = \Sigma S_{\text{model_seg}}$	280	
静的応力降下量 $\Delta\sigma$ [MPa]		$\Delta\sigma = 7/16 \cdot (M_0 / R^3)$, $R = (S_{\text{model}} / \pi)^{1/2}$	5.6	
平均すべり量 D [m]		$D = M_0 / (\mu \cdot S_{\text{model}})$	1.23	
断層モデル原点 (地中) [°N]		長期評価に基づく	34.795	34.758
断層モデル原点 (地中) [°E]		長期評価に基づく	138.961	139.036
走向 θ [度]		長期評価に基づく	120.6	90.6
傾斜角 δ [度]		長期評価に基づく	90.0	90.0
すべり角 λ [度]		「右横ずれ断層」	180	180
断層モデル上端深さ H_s [km]		地震基盤と2kmの深い方	2	2
断層モデル深さ下限 H_d [km]		長期評価に基づく	10	10
断層モデル長さ L_{model} [km]		「レシピ」の (イ) の手順に従う	8	20
断層モデル幅 W_{model} [km]		「レシピ」の (イ) の手順に従う	10	10
断層モデル面積 $S_{\text{model_seg}}$ [km ²]		$S_{\text{model_seg}} = L_{\text{model_seg}} \cdot W_{\text{model_seg}}$	80	200
セグメント地震モーメント $M_{0\text{seg}}$ [Nm]		$S_{\text{model_seg}}$ の1.5乗に応じて分配	2.17E+18	8.56E+18
セグメント平均すべり量 D_{seg} [m]		$D_{\text{seg}} = M_{0\text{seg}} / (\mu \cdot S_{\text{model_seg}})$	0.87	1.37
微視的震源パラメータ		設定方法	ケース1~4	
短周期レベル A [Nm/s ²]		$A = 2.46 \times 10^{10} \times (M_0 \times 10^7)^{1/3}$	1.17E+19	
全 ア ス ペ リ	面積 S_a [km ²]	$S_a = \pi^2$, $r = (7\pi/4) \cdot \{M_0 / (A \cdot R)\} \cdot \beta^2$	119.9	
	実効応力 σ_a [MPa]	$\sigma_a = \Delta\sigma_a = 7/16 \cdot M_0 / (r^2 \cdot R)$	13.0	
	セグメント面積 S_{a1} [km ²]	$S_{\text{model_seg}}$ に応じて分配	34.2	85.6
	平均すべり量 D_a [m]	$D_a = \gamma_D \cdot D_{\text{seg}}$, $\gamma_D = 2.0$	1.73	2.74
	地震モーメント M_{0a} [Nm]	$M_{0a} = \mu \cdot D_a \cdot S_a$	1.85E+18	7.33E+18
ア ス ペ リ 1	面積 S_{a1} [km ²]	$S_{a1} = S_a \cdot (2/3)$ または $S_{a1} = S_a$	34.2	85.6
	実効応力 σ_{a1} [MPa]	$\sigma_{a1} = \sigma_a$	13.0	13.0
	平均すべり量 D_{a1} [m]	$D_{a1} = (\gamma_1 / \Sigma\gamma_i^3) \cdot D_a$ または $D_{a1} = D_a$	1.73	2.74
	計算用面積 [km ²]	2kmメッシュサイズ	6 × 6	10 × 8
ア ス ペ リ 2	面積 S_{a2} [km ²]	$S_{a2} = S_a / 3$ または 「なし」		
	実効応力 σ_{a2} [MPa]	$\sigma_{a2} = \sigma_a$ または 「なし」		
	平均すべり量 D_{a2} [m]	$D_{a2} = (\gamma_2 / \Sigma\gamma_i^3) \cdot D_a$ または 「なし」		
	計算用面積 [km ²]	2kmメッシュサイズ		
背 景 領 域	面積 S_b [km ²]	$S_b = S_{\text{model}} - S_a$	45.8	114.4
	実効応力 σ_b [MPa]	$\sigma_b = (D_b / W_b) \cdot (\pi^{1/2} / D_a) \cdot r \cdot \Sigma\gamma_i^3 \cdot \sigma_a$	1.0	1.3
	平均すべり量 D_b [m]	$D_b = M_{0b} / (\mu \cdot S_b)$	0.22	0.34
	地震モーメント M_{0b} [Nm]	$M_{0b} = M_0 - M_{0a}$	3.11E+17	1.23E+18



アスペリティと破壊開始点の配置図

傾斜方向断面図



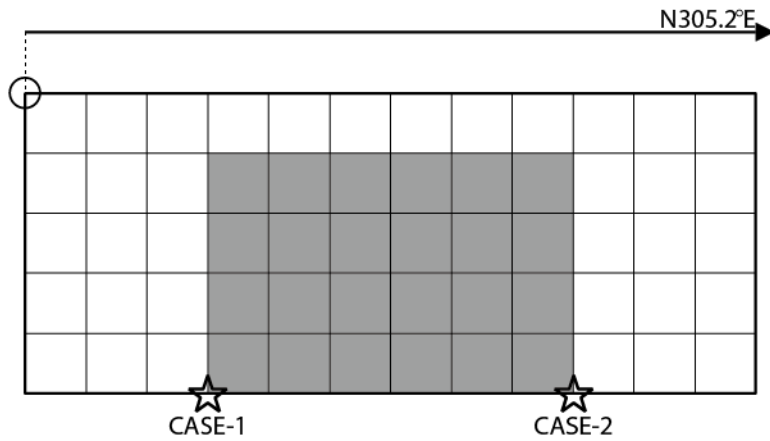
震度分布図

震源断層を特定した地震動予測地図：稲取断層帯

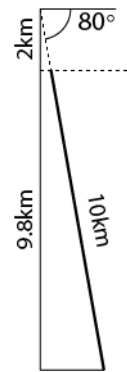
震源断層を特定した地震動予測地図：石廊崎断層

石廊崎断層 (F016001) 断層パラメータ

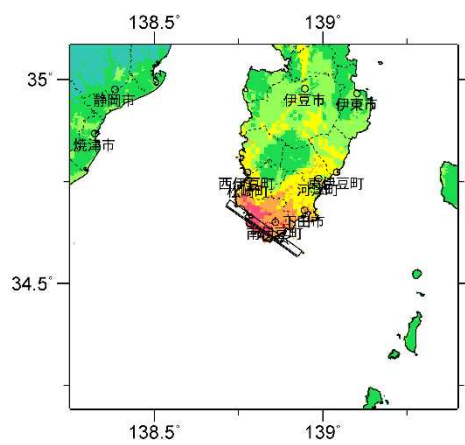
巨視的震源パラメータ		設定方法	
断層長さ L [km]		長期評価による	20
地震規模 M		$M = (\log L + 2.9) / 0.6$	7.0
地震モーメント M_0 [Nm]		$\log M_0 = 1.17 \cdot M + 10.72$	8.17E+18
モーメントマグニチュード M_w		$M_w = (\log M_0 - 9.1) / 1.5$	6.5
断層モデル面積 S_{model} [km ²]		$S_{\text{model}} = L_{\text{model}} \cdot W_{\text{model}}$	240
静的応力降下量 $\Delta\sigma$ [MPa]		$\Delta\sigma = 7/16 \cdot (M_0 / R^3), R = (S_{\text{model}} / \pi)^{1/2}$	5.4
平均すべり量 D [m]		$D = M_0 / (\mu \cdot S_{\text{model}})$	1.09
断層モデル原点 (地中) [°N]		長期評価に基づく	34.567
断層モデル原点 (地中) [°E]		長期評価に基づく	138.927
走向 θ [度]		長期評価に基づく	305.2
傾斜角 δ [度]		長期評価に基づく	80.0
すべり角 λ [度]		「右横ずれ断層」	180
断層モデル上端深さ H_s [km]		地震基盤と2kmの深い方	2
断層モデル深さ下限 H_d [km]		長期評価に基づく	10
断層モデル長さ L_{model} [km]		「レシピ」の(イ)の手順に従う	24
断層モデル幅 W_{model} [km]		「レシピ」の(イ)の手順に従う	10
微視的震源パラメータ		設定方法	ケース1~2
短周期レベル A [Nm/s ²]		$A = 2.46 \times 10^{10} \times (M_0 \times 10^7)^{1/3}$	1.07E+19
全 ア ス ペ リ	面積 S_a [km ²]	$S_a = \pi r^2, r = (7\pi/4) \cdot \{M_0 / (A \cdot R)\} \cdot \beta^2$	97.2
	実効応力 σ_a [MPa]	$\sigma_a = \Delta\sigma_a = 7/16 \cdot M_0 / (r^2 \cdot R)$	13.2
	平均すべり量 D_a [m]	$D_a = \gamma_D \cdot D, \gamma_D = 2.0$	2.18
	地震モーメント M_{0a} [Nm]	$M_{0a} = \mu \cdot D_a \cdot S_a$	6.62E+18
ア ス ペ リ 1	面積 S_{a1} [km ²]	$S_{a1} = S_a \cdot (2/3)$ または $S_{a1} = S_a$	97.2
	実効応力 σ_{a1} [MPa]	$\sigma_{a1} = \sigma_a$	13.2
	平均すべり量 D_{a1} [m]	$D_{a1} = (\gamma_1 / \Sigma\gamma_i^3) \cdot D_a$ または $D_{a1} = D_a$	2.18
	計算用面積 [km ²]	2kmメッシュサイズ	12 × 8
ア ス ペ リ 2	面積 S_{a2} [km ²]	$S_{a2} = S_a / 3$ または 「なし」	
	実効応力 σ_{a2} [MPa]	$\sigma_{a2} = \sigma_a$ または 「なし」	
	平均すべり量 D_{a2} [m]	$D_{a2} = (\gamma_2 / \Sigma\gamma_i^3) \cdot D_a$ または 「なし」	
	計算用面積 [km ²]	2kmメッシュサイズ	
背 景 領 域	面積 S_b [km ²]	$S_b = S_{\text{model}} - S_a$	142.8
	実効応力 σ_b [MPa]	$\sigma_b = (D_b / W_b) \cdot (\pi^{1/2} / D_a) \cdot r \cdot \Sigma\gamma_i^3 \cdot \sigma_a$	1.7
	平均すべり量 D_b [m]	$D_b = M_{0b} / (\mu \cdot S_b)$	0.35
	地震モーメント M_{0b} [Nm]	$M_{0b} = M_0 - M_{0a}$	1.55E+18



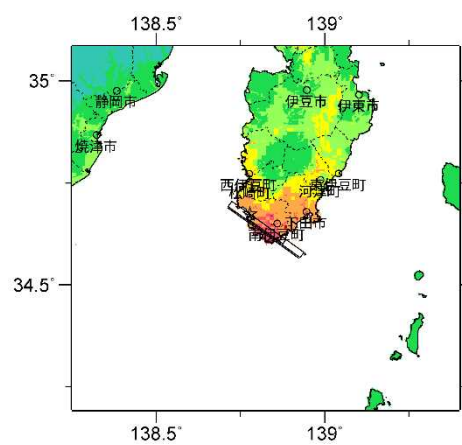
アスペリティと破壊開始点の配置図



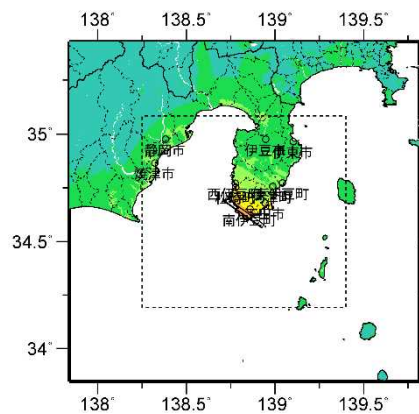
傾斜方向断面図



詳細法ケース 1

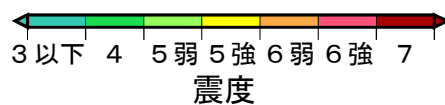


詳細法ケース 2



簡便法

(破線矩形は詳細法計算領域)



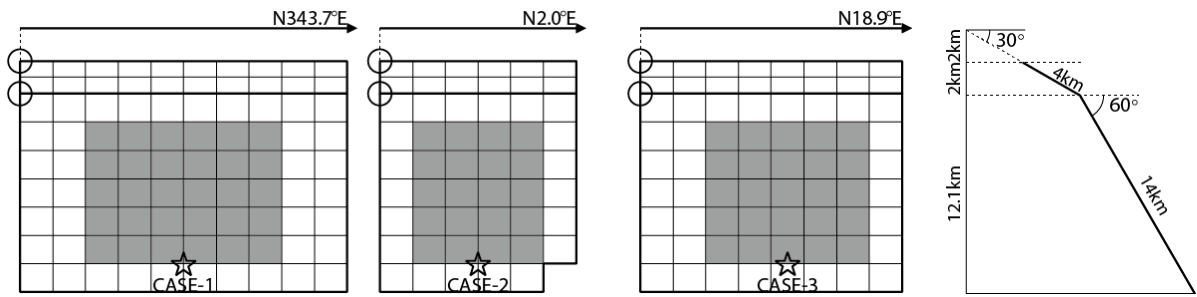
震度分布図

震源断層を特定した地震動予測地図：石廊崎断層

震源断層を特定した地震動予測地図：糸魚川－静岡構造線断層帯 北部区間

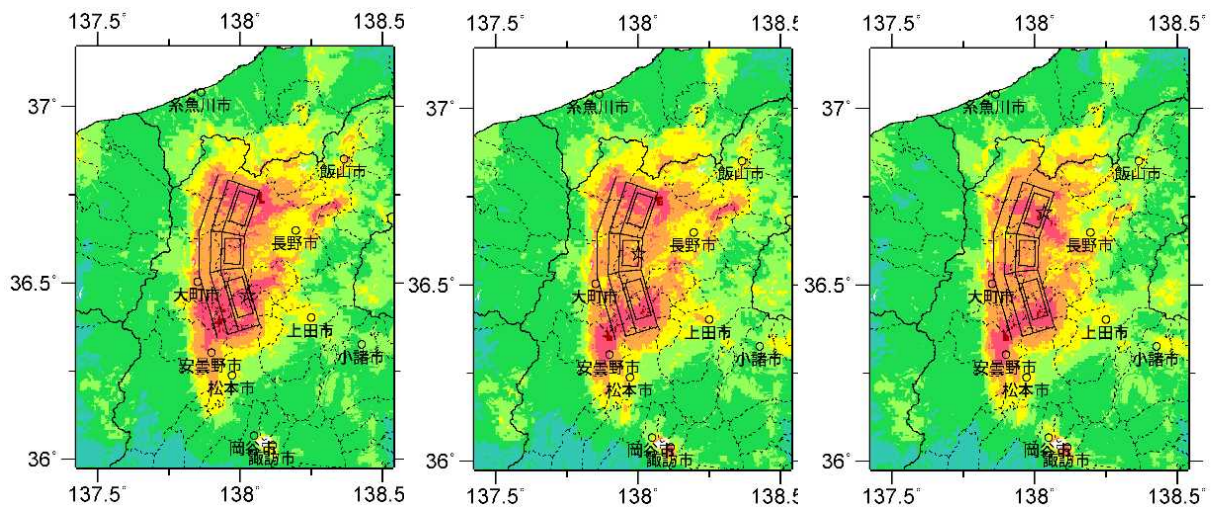
糸魚川－静岡構造線断層帯 北部区間 (F016101) 断層パラメータ

巨視的震源パラメータ		設定方法			
断層長さ L [km]		長期評価による			
地震規模 M		$M = (\log L + 2.9) / 0.6$			
地震モーメント M_0 [Nm]		$\log M_0 = 1.17 \cdot M + 10.72$			
モーメントマグニチュード M_w		$M_w = (\log M_0 - 9.1) / 1.5$			
断層モデル総面積 S_{model} [km ²]		$S_{\text{model}} = \Sigma S_{\text{model_seg}}$			
静的応力降下量 $\Delta\sigma$ [MPa]		$\Delta\sigma = 7/16 \cdot (M_0 / R^3), R = (S_{\text{model}} / \pi)^{1/2}$			
平均すべり量 D [m]		$D = M_0 / (\mu \cdot S_{\text{model}})$			
断層モデル原点 (地中) [°N]		長期評価に基づく	36.364	36.537	36.645
断層モデル原点 (地中) [°E]		長期評価に基づく	137.994	137.932	137.937
走向 θ [度]		長期評価に基づく	343.7	2.0	18.9
傾斜角 δ [度]		長期評価に基づく	30/60	30/60	30/60
すべり角 λ [度]		「逆断層」	90	90	90
断層モデル上端深さ H_s [km]		地震基盤と2kmの深い方	2	2	2
断層モデル深さ下限 H_d [km]		長期評価に基づく	15	15	15
断層モデル長さ L_{model} [km]		「レシピ」の (イ) の手順に従う	20	12	16
断層モデル幅 W_{model} [km]		「レシピ」の (イ) の手順に従う	18	18	18
断層モデル面積 $S_{\text{model_seg}}$ [km ²]		$S_{\text{model_seg}} = L_{\text{model_seg}} \cdot W_{\text{model_seg}}$	351.3	199.2	280
セグメント地震モーメント $M_{0\text{seg}}$ [Nm]		$S_{\text{model_seg}}$ の1.5乗に応じて分配	2.28E+19	9.73E+18	1.62E+19
セグメント平均すべり量 D_{seg} [m]		$D_{\text{seg}} = M_{0\text{seg}} / (\mu \cdot S_{\text{model_seg}})$	2.08	1.57	1.86
微視的震源パラメータ		設定方法			
短周期レベル A [Nm/s ²]		$A = 2.46 \times 10^{10} \times (M_0 \times 10^7)^{1/3}$			
全 ア ス ペ リ	面積 S_a [km ²]	$S_a = \pi r^2, r = (7\pi/4) \cdot \{M_0 / (A \cdot R)\} \cdot \beta^2$			
	実効応力 σ_a [MPa]	$\sigma_a = \Delta\sigma_a = 7/16 \cdot M_0 / (r^2 \cdot R)$			
	セグメント面積 S_{a1} [km ²]	$S_{\text{model_seg}}$ に応じて分配			
	平均すべり量 D_a [m]	$D_a = \gamma_D \cdot D_{\text{seg}}, \gamma_D = 2.0$			
	地震モーメント M_{0a} [Nm]	$M_{0a} = \mu \cdot D_a \cdot S_a$			
ア ス ペ リ 1	面積 S_{a1} [km ²]	$S_{a1} = S_a \cdot (2/3)$ または $S_{a1} = S_a$			
	実効応力 σ_{a1} [MPa]	$\sigma_{a1} = \sigma_a$			
	平均すべり量 D_{a1} [m]	$D_{a1} = (\gamma_1 / \Sigma\gamma_i^3) \cdot D_a$ または $D_{a1} = D_a$			
	計算用面積 [km ²]	2kmメッシュサイズ			
ア ス ペ リ 2	面積 S_{a2} [km ²]	$S_{a2} = S_a / 3$ または 「なし」			
	実効応力 σ_{a2} [MPa]	$\sigma_{a2} = \sigma_a$ または 「なし」			
	平均すべり量 D_{a2} [m]	$D_{a2} = (\gamma_2 / \Sigma\gamma_i^3) \cdot D_a$ または 「なし」			
	計算用面積 [km ²]	2kmメッシュサイズ			
背 景 領 域	面積 S_b [km ²]	$S_b = S_{\text{model}} - S_a$			
	実効応力 σ_b [MPa]	$\sigma_b = (D_b / W_b) \cdot (\pi^{1/2} / D_a) \cdot r \cdot \Sigma\gamma_i^3 \cdot \sigma_a$			
	平均すべり量 D_b [m]	$D_b = M_{0b} / (\mu \cdot S_b)$			
	地震モーメント M_{0b} [Nm]	$M_{0b} = M_0 - M_{0a}$			



アスペリティと破壊開始点の配置図

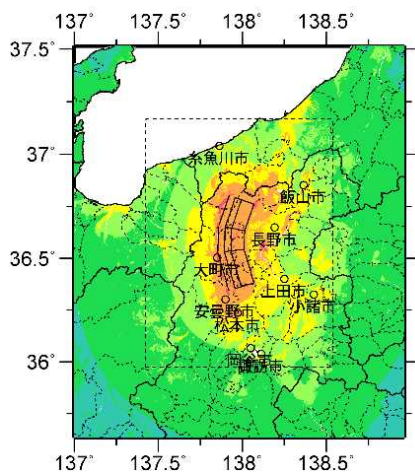
傾斜方向断面図



詳細法ケース 1

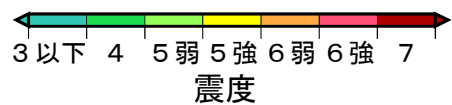
詳細法ケース 2

詳細法ケース 3



簡便法

(破線矩形は詳細法計算領域)



震度分布図

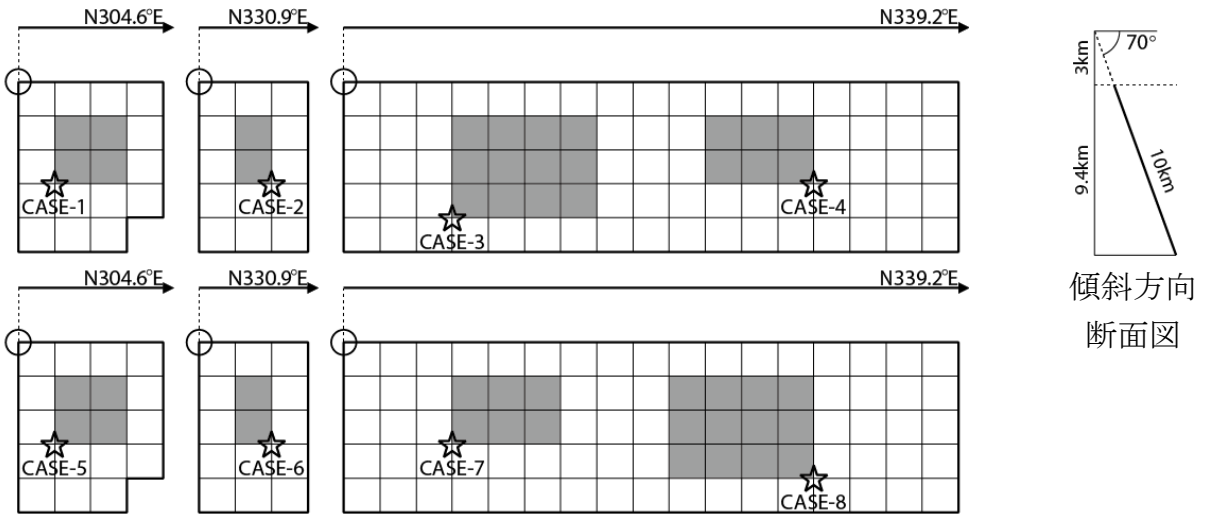
震源断層を特定した地震動予測地図：糸魚川—静岡構造線断層帯 北部区間

震源断層を特定した地震動予測地図：糸魚川－静岡構造線断層帯 中北部区間

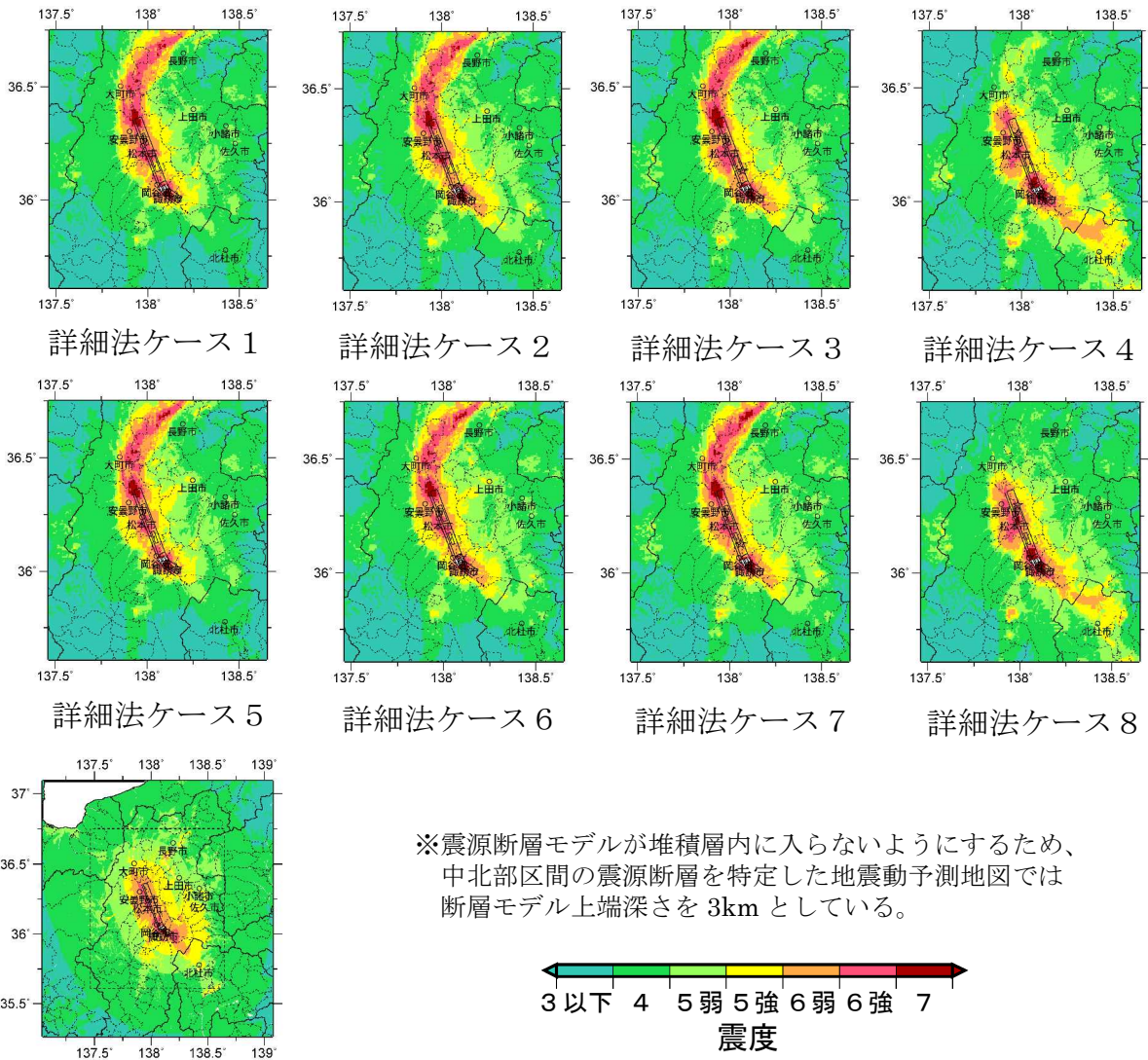
糸魚川－静岡構造線断層帯 中北部区間 (F016102) 断層パラメータ

巨視的震源パラメータ		設定方法		
断層長さ L [km]		長期評価による		
地震規模 M		$M = (\log L + 2.9) / 0.6$		
地震モーメント M_0 [Nm]		$\log M_0 = 1.17 \cdot M + 10.72$		
モーメントマグニチュード M_w		$M_w = (\log M_0 - 9.1) / 1.5$		
断層モデル総面積 S_{model} [km ²]		$S_{\text{model}} = \Sigma S_{\text{model_seg}}$		
静的応力降下量 $\Delta\sigma$ [MPa]		$\Delta\sigma = 3.1$ (Fujii and Matsu'ura, 2000)		
平均すべり量 D [m]		$D = M_0 / (\mu \cdot S_{\text{model}})$		
断層モデル原点 (地中) [°N]		35.986	36.025	36.070
断層モデル原点 (地中) [°E]		138.164	138.094	138.063
走向 θ [度]		304.6	330.9	339.2
傾斜角 δ [度]		70.0	70.0	70.0
すべり角 λ [度]		「左横ずれ断層」		
断層モデル上端深さ H_s [km]		地震基盤と2kmの深い方		
断層モデル深さ下限 H_d [km]		長期評価に基づく		
断層モデル長さ L_{model} [km]		「レシピ」の (イ) の手順に従う		
断層モデル幅 W_{model} [km]		「レシピ」の (イ) の手順に従う		
断層モデル面積 $S_{\text{model_seg}}$ [km ²]		73.5	51.4	338.0
セグメント地震モーメント $M_{0\text{seg}}$ [Nm]		$S_{\text{model_seg}}$ の1.5乗に応じて分配		
セグメント平均すべり量 D_{seg} [m]		1.51	1.26	3.24
微視的震源パラメータ		設定方法		
短周期レベル A [Nm/s ²]		ケース1～8		
		$A = 4\pi \cdot r \cdot \Delta\sigma_a \cdot \beta^2$		
全 ア ス ペ リ	面積 S_a [km ²]	$S_a = 0.22 \cdot S_{\text{model}}$		
	実効応力 σ_a [MPa]	$\sigma_a = \Delta\sigma_a = (S_{\text{model}} / S_a) \cdot \Delta\sigma$		
	セグメント面積 S_{a_i} [km ²]	$S_{\text{model_seg}}$ に応じて分配		
	平均すべり量 D_{a_i} [m]	$D_{a_i} = \gamma_D \cdot D_{\text{seg}}, \gamma_D = 2.0$		
	地震モーメント M_{0a_i} [Nm]	$M_{0a_i} = \mu \cdot D_{a_i} \cdot S_{a_i}$		
ア ス ペ リ 1	面積 S_{a1} [km ²]	$S_{a1} = S_a \cdot (2/3)$ または $S_{a1} = S_a$		
	実効応力 σ_{a1} [MPa]	$\sigma_{a1} = \sigma_a$		
	平均すべり量 D_{a1} [m]	$D_{a1} = (\gamma_1 / \Sigma \gamma_i^3) \cdot D_a$ または $D_{a1} = D_a$		
	計算用面積 [km ²]	4 × 4	2 × 4	8 × 6
ア ス ペ リ 2	面積 S_{a2} [km ²]	$S_{a2} = S_a / 3$ または 「なし」		
	実効応力 σ_{a2} [MPa]	$\sigma_{a2} = \sigma_a$ または 「なし」		
	平均すべり量 D_{a2} [m]	$D_{a2} = (\gamma_2 / \Sigma \gamma_i^3) \cdot D_a$ または 「なし」		
	計算用面積 [km ²]			6 × 4
背 景 領 域	面積 S_b [km ²]	$S_b = S_{\text{model}} - S_a$		
	実効応力 σ_b [MPa]	$\sigma_b = (D_b / W_b) \cdot (\pi^{1/2} / D_a) \cdot r \cdot \Sigma \gamma_i^3 \cdot \sigma_a$		
	平均すべり量 D_b [m]	$D_b = M_{0b} / (\mu \cdot S_b)$		
	地震モーメント M_{0b} [Nm]	$M_{0b} = M_0 - M_{0a}$		

※震源断層モデルが堆積層内に入らないようにするため、中北部区間の震源断層を特定した地震動予測地図では断層モデル上端深さを3kmとしている。



アスペリティと破壊開始点の配置図



簡便法
(破線矩形は詳細法計算領域)

震度分布図

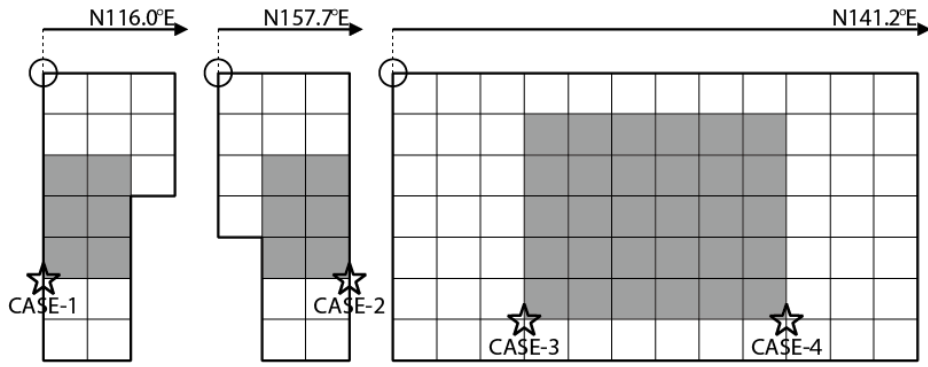
※震源断層モデルが堆積層内に入らないようにするため、中北部区間の震源断層を特定した地震動予測地図では断層モデル上端深さを3kmとしている。

震源断層を特定した地震動予測地図：糸魚川—静岡構造線断層帯 中北部区間

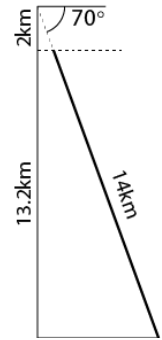
震源断層を特定した地震動予測地図：糸魚川－静岡構造線断層帯 中南部区間

糸魚川－静岡構造線断層帯 中南部区間 (F016103) 断層パラメータ

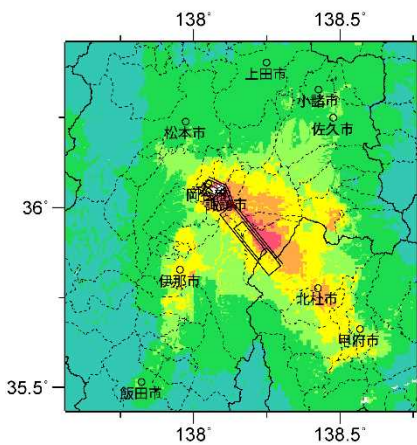
巨視的震源パラメータ		設定方法			
断層長さ L [km]		長期評価による			
地震規模 M		$M = (\log L + 2.9) / 0.6$			
地震モーメント M_0 [Nm]		$\log M_0 = 1.17 \cdot M + 10.72$			
モーメントマグニチュード M_w		$M_w = (\log M_0 - 9.1) / 1.5$			
断層モデル総面積 S_{model} [km ²]		$S_{\text{model}} = \Sigma S_{\text{model_seg}}$			
静的応力降下量 $\Delta\sigma$ [MPa]		$\Delta\sigma = 7/16 \cdot (M_0 / R^3), R = (S_{\text{model}} / \pi)^{1/2}$			
平均すべり量 D [m]		$D = M_0 / (\mu \cdot S_{\text{model}})$			
断層モデル原点 (地中) [°N]		長期評価に基づく	36.079	36.056	36.007
断層モデル原点 (地中) [°E]		長期評価に基づく	138.049	138.106	138.131
走向 θ [度]		長期評価に基づく	116.0	157.7	141.2
傾斜角 δ [度]		長期評価に基づく	70.0	70.0	70.0
すべり角 λ [度]		「左横ずれ断層」	0	0	0
断層モデル上端深さ H_s [km]		地震基盤と2kmの深い方	2	2	2
断層モデル深さ下限 H_d [km]		長期評価に基づく	15	15	15
断層モデル長さ L_{model} [km]		「レシピ」の (イ) の手順に従う	6	6	24
断層モデル幅 W_{model} [km]		「レシピ」の (イ) の手順に従う	14	14	14
断層モデル面積 $S_{\text{model_seg}}$ [km ²]		$S_{\text{model_seg}} = L_{\text{model_seg}} \cdot W_{\text{model_seg}}$	67.4	67.4	336
セグメント地震モーメント $M_{0\text{seg}}$ [Nm]		$S_{\text{model_seg}}$ の1.5乗に応じて分配	1.65E+18	1.65E+18	1.84E+19
セグメント平均すべり量 D_{seg} [m]		$D_{\text{seg}} = M_{0\text{seg}} / (\mu \cdot S_{\text{model_seg}})$	0.78	0.78	1.75
微視的震源パラメータ		設定方法			
短周期レベル A [Nm/s ²]		$A = 2.46 \times 10^{10} \times (M_0 \times 10^7)^{1/3}$			
全 ア ス ペ リ テ ィ	面積 S_a [km ²]	$S_a = \pi r^2, r = (7\pi/4) \cdot \{M_0 / (A \cdot R)\} \cdot \beta^2$			
	実効応力 σ_a [MPa]	$\sigma_a = \Delta\sigma_a = 7/16 \cdot M_0 / (r^2 \cdot R)$			
	セグメント面積 S_a [km ²]	$S_{\text{model_seg}}$ に応じて分配			
	平均すべり量 D_a [m]	$D_a = \gamma_D \cdot D_{\text{seg}}, \gamma_D = 2.0$			
	地震モーメント M_{0a} [Nm]	$M_{0a} = \mu \cdot D_a \cdot S_a$			
ア ス ペ リ 1	面積 S_{a1} [km ²]	$S_{a1} = S_a \cdot (2/3)$ または $S_{a1} = S_a$			
	実効応力 σ_{a1} [MPa]	$\sigma_{a1} = \sigma_a$			
	平均すべり量 D_{a1} [m]	$D_{a1} = (\gamma_1 / \Sigma\gamma_i^3) \cdot D_a$ または $D_{a1} = D_a$			
	計算用面積 [km ²]	2kmメッシュサイズ			
ア ス ペ リ 2	面積 S_{a2} [km ²]	$S_{a2} = S_a / 3$ または 「なし」			
	実効応力 σ_{a2} [MPa]	$\sigma_{a2} = \sigma_a$ または 「なし」			
	平均すべり量 D_{a2} [m]	$D_{a2} = (\gamma_2 / \Sigma\gamma_i^3) \cdot D_a$ または 「なし」			
	計算用面積 [km ²]	2kmメッシュサイズ			
背 景 領 域	面積 S_b [km ²]	$S_b = S_{\text{model}} - S_a$			
	実効応力 σ_b [MPa]	$\sigma_b = (D_b / W_b) \cdot (\pi^{1/2} / D_a) \cdot r \cdot \Sigma\gamma_i^3 \cdot \sigma_a$			
	平均すべり量 D_b [m]	$D_b = M_{0b} / (\mu \cdot S_b)$			
	地震モーメント M_{0b} [Nm]	$M_{0b} = M_0 - M_{0a}$			



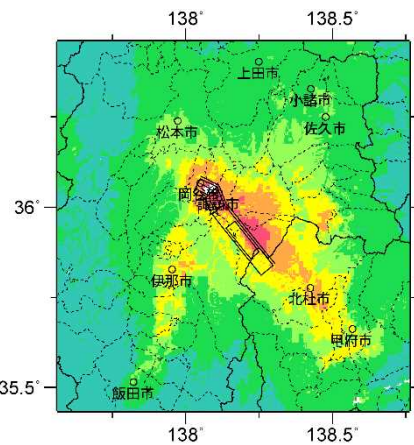
アスペリティと破壊開始点の配置図



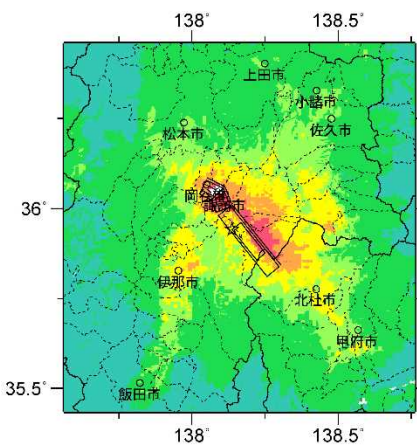
傾斜方向断面図



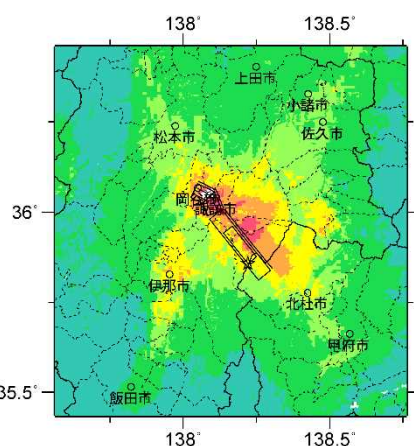
詳細法ケース 1



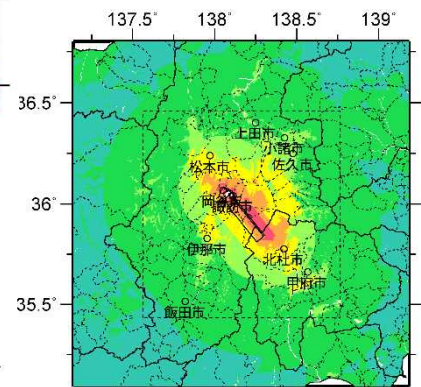
詳細法ケース 2



詳細法ケース 3

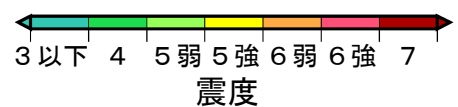


詳細法ケース 4



簡便法

(破線矩形は詳細法計算領域)



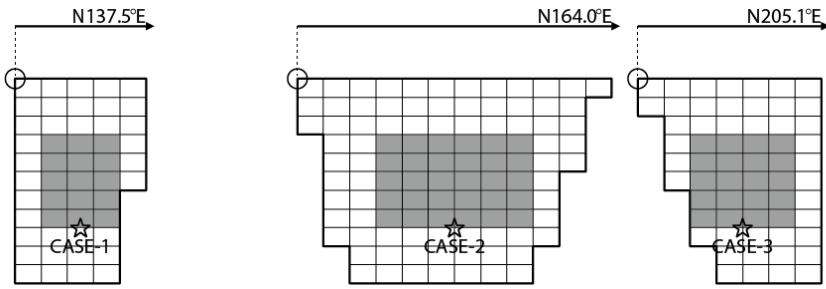
震度分布図

震源断層を特定した地震動予測地図：糸魚川—静岡構造線断層帯 中南部区間

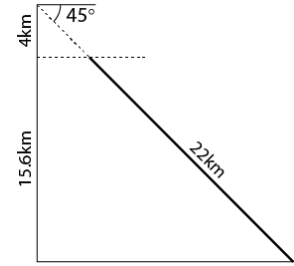
震源断層を特定した地震動予測地図：糸魚川－静岡構造線断層帯 南部区間

糸魚川－静岡構造線断層帯 南部区間 (F016104) 断層パラメータ

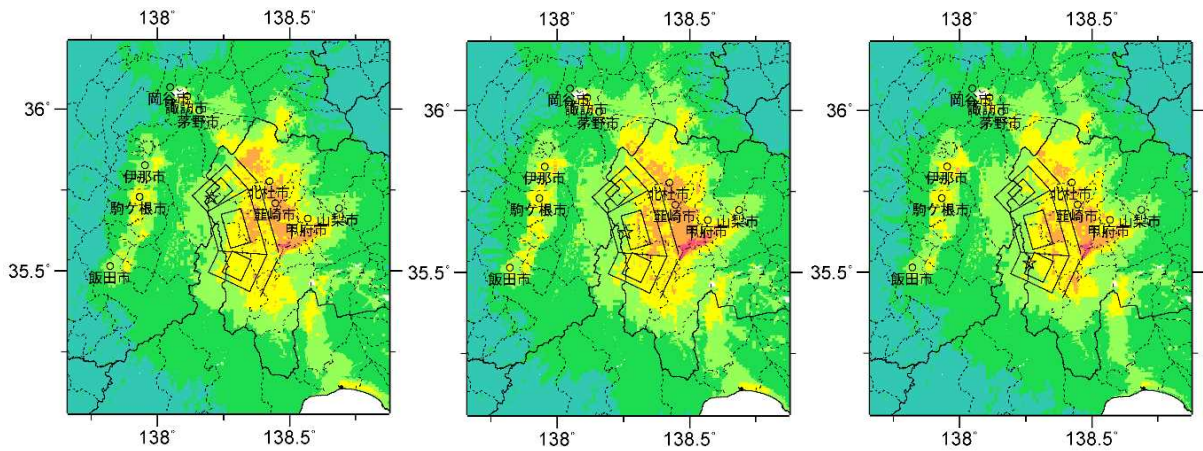
巨視的震源パラメータ		設定方法			
断層長さ L [km]		長期評価による			
地震規模 M		$M = (\log L + 2.9) / 0.6$			
地震モーメント M_0 [Nm]		$\log M_0 = 1.17 \cdot M + 10.72$			
モーメントマグニチュード M_w		$M_w = (\log M_0 - 9.1) / 1.5$			
断層モデル総面積 S_{model} [km ²]		$S_{\text{model}} = \Sigma S_{\text{model_seg}}$			
静的応力降下量 $\Delta\sigma$ [MPa]		$\Delta\sigma = 7/16 \cdot (M_0 / R^3), R = (S_{\text{model}} / \pi)^{1/2}$			
平均すべり量 D [m]		$D = M_0 / (\mu \cdot S_{\text{model}})$			
断層モデル原点 (地中) [°N]		長期評価に基づく	35.828	35.755	35.551
断層モデル原点 (地中) [°E]		長期評価に基づく	138.260	138.343	138.415
走向 θ [度]		長期評価に基づく	137.5	164.0	205.1
傾斜角 δ [度]		長期評価に基づく	45.0	45.0	45.0
すべり角 λ [度]		「逆断層」	90	90	90
断層モデル上端深さ H_s [km]		地震基盤と2kmの深い方	4	4	4
断層モデル深さ下限 H_d [km]		長期評価に基づく	15	15	15
断層モデル長さ L_{model} [km]		「レシピ」の (イ) の手順に従う	12	26	16
断層モデル幅 W_{model} [km]		「レシピ」の (イ) の手順に従う	22	22	22
断層モデル面積 $S_{\text{model_seg}}$ [km ²]		$S_{\text{model_seg}} = L_{\text{model_seg}} \cdot W_{\text{model_seg}}$	203.0	413.8	254.9
セグメント地震モーメント $M_{0\text{seg}}$ [Nm]		$S_{\text{model_seg}}$ の1.5乗に応じて分配	8.47E+18	2.46E+19	1.19E+19
セグメント平均すべり量 D_{seg} [m]		$D_{\text{seg}} = M_{0\text{seg}} / (\mu \cdot S_{\text{model_seg}})$	1.34	1.91	1.50
微視的震源パラメータ		設定方法			
短周期レベル A [Nm/s ²]		$A = 2.46 \times 10^{10} \times (M_0 \times 10^7)^{1/3}$			
全 ア ス ペ リ	面積 S_a [km ²]	$S_a = \pi r^2, r = (7\pi/4) \cdot \{M_0 / (A \cdot R)\} \cdot \beta^2$			
	実効応力 σ_a [MPa]	$\sigma_a = \Delta\sigma_a = 7/16 \cdot M_0 / (r^2 \cdot R)$			
	セグメント面積 S_a [km ²]	$S_{\text{model_seg}}$ に応じて分配			
	平均すべり量 D_a [m]	$D_a = \gamma_D \cdot D_{\text{seg}}, \gamma_D = 2.0$			
	地震モーメント M_{0a} [Nm]	$M_{0a} = \mu \cdot D_a \cdot S_a$			
ア ス ペ リ 1	面積 S_{a1} [km ²]	$S_{a1} = S_a \cdot (2/3)$ または $S_{a1} = S_a$			
	実効応力 σ_{a1} [MPa]	$\sigma_{a1} = \sigma_a$			
	平均すべり量 D_{a1} [m]	$D_{a1} = (\gamma_1 / \Sigma \gamma_i^3) \cdot D_a$ または $D_{a1} = D_a$			
	計算用面積 [km ²]	2kmメッシュサイズ			
ア ス ペ リ 2	面積 S_{a2} [km ²]	$S_{a2} = S_a / 3$ または 「なし」			
	実効応力 σ_{a2} [MPa]	$\sigma_{a2} = \sigma_a$ または 「なし」			
	平均すべり量 D_{a2} [m]	$D_{a2} = (\gamma_2 / \Sigma \gamma_i^3) \cdot D_a$ または 「なし」			
	計算用面積 [km ²]	2kmメッシュサイズ			
背 景 領 域	面積 S_b [km ²]	$S_b = S_{\text{model}} - S_a$			
	実効応力 σ_b [MPa]	$\sigma_b = (D_b / W_b) \cdot (\pi^{1/2} / D_a) \cdot r \cdot \Sigma \gamma_i^3 \cdot \sigma_a$			
	平均すべり量 D_b [m]	$D_b = M_{0b} / (\mu \cdot S_b)$			
	地震モーメント M_{0b} [Nm]	$M_{0b} = M_0 - M_{0a}$			



アスペリティと破壊開始点の配置図



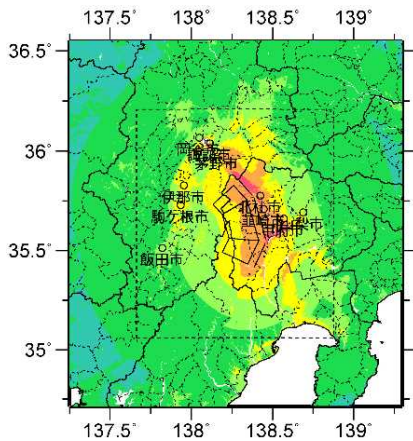
傾斜方向断面図



詳細法ケース 1

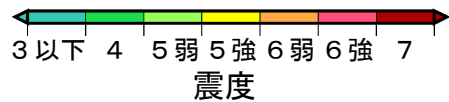
詳細法ケース 2

詳細法ケース 3



簡便法

(破線矩形は詳細法計算領域)



震度分布図

震源断層を特定した地震動予測地図：糸魚川—静岡構造線断層帯 南部区間

